This is a digital copy of a book that was preserved for generations on library shelves before it was carefully scanned by Google as part of a project to make the world's books discoverable online.

It has survived long enough for the copyright to expire and the book to enter the public domain. A public domain book is one that was never subject to copyright or whose legal copyright term has expired. Whether a book is in the public domain may vary country to country. Public domain books are our gateways to the past, representing a wealth of history, culture and knowledge that's often difficult to discover.

Marks, notations and other marginalia present in the original volume will appear in this file - a reminder of this book's long journey from the publisher to a library and finally to you.

Usage guidelines

Google is proud to partner with libraries to digitize public domain materials and make them widely accessible. Public domain books belong to the public and we are merely their custodians. Nevertheless, this work is expensive, so in order to keep providing this resource, we have taken steps to prevent abuse by commercial parties, including placing technical restrictions on automated querying.

We also ask that you:

+ *Make non-commercial use of the files* We designed Google Book Search for use by individuals, and we request that you use these files for personal, non-commercial purposes.

+ *Refrain from automated querying* Do not send automated queries of any sort to Google's system: If you are conducting research on machine translation, optical character recognition or other areas where access to a large amount of text is helpful, please contact us. We encourage the use of public domain materials for these purposes and may be able to help.

+ *Maintain attribution* The Google "watermark" you see on each file is essential for informing people about this project and helping them find additional materials through Google Book Search. Please do not remove it.

+ *Keep it legal* Whatever your use, remember that you are responsible for ensuring that what you are doing is legal. Do not assume that just because we believe a book is in the public domain for users in the United States, that the work is also in the public domain for users in other countries. Whether a book is still in copyright varies from country to country, and we can't offer guidance on whether any specific use of any specific book is allowed. Please do not assume that a book's appearance in Google Book Search means it can be used in any manner anywhere in the world. Copyright infringement liability can be quite severe.

About Google Book Search

Google's mission is to organize the world's information and to make it universally accessible and useful. Google Book Search helps readers discover the world's books while helping authors and publishers reach new audiences. You can search through the full text of this book on the web at `http://books.google.com/`

Atlas der physiologischen und pathologischen Harnsedimente

Robert Ultzmann, Karl Berthold Hofmann

Digitized by Google

Medicinische Werke

aus dem Verlage

von Wilhelm Braumüller, k. k. Hof- und Universitätsbuchhändler in Wien.

Von denselben Verfassern:

Anleitung zur Untersuchung des Harnes mit besonderer Berücksichtigung der Erkrankung des Harnapparates. Mit 2 Holzschnitten. gr. 8. 1871. 1 fl. 20 kr. — 24 Ngr.

Auspitz, Dr. Heinrich, Docent für Hautkrankheiten und Syphilis an der k. k. Universität in Wien. **Die Lehren vom syphilitischen Contagium** und ihre thatsächliche Begründung. gr. 8. 1866. 3 fl. 50 kr. — 2 Thlr. 10 Ngr.

Fick, Dr. Adolf, Professor der Physiologie an der Universität in Würzburg. **Compendium der Physiologie des Menschen** mit Einschluss der Entwickelungsgeschichte. Mit zahlreichen Holzschnitten. gr. 8. 1860. 5 fl. — 3 Thlr. 10 Ngr.

— — **Untersuchungen aus dem physiologischen Laboratorium der Züricher Hochschule.** I. Heft. Mit 19 Holzschnitten und 5 lithografirten Tafeln. gr. 8. 1869. 2 fl. — 1 Thlr. 10 Ngr.

Gerlach, Dr. Jos., o. ö. Professor der Anatomie und Physiologie in Erlangen. **Handbuch der allgemeinen und speciellen Gewebelehre des menschlichen Körpers.** Für Aerzte und Studirende. Zweite völlig umgearbeitete und mit zahlreichen Holzschnitten vermehrte Auflage. Neue Ausgabe. gr. 8. 1860. 4 fl. 50 kr. — 3 Thlr.

Hauschka, Dr. D. J., Professor an der k. k. Josefs-Akademie in Wien. **Compendium der speciellen Pathologie und Therapie,** als Leitfaden für seine Vorlesungen. Zwei Theile in 1 Bande. gr. 8. 1857. 7 fl. 50 kr. — 5 Thlr.

Kisch, Dr. E. Heinrich, Docent an der k. k. Universität in Prag, Badearzt in Marienbad. **Die Balneotherapie der chronischen Krankheiten.** Ein Handbuch für praktische Aerzte. gr. 8. 1867. 6 fl. — 4 Thlr.

Linhart, Dr. W. von, königl. bair. Hofrath, o. ö. Professor der Chirurgie und chirurgischen Klinik an der Julius-Maximilians-Universität und Oberwundarzt des Julius-Hospitals in Würzburg. **Compendium der chirurgischen Operationslehre.** Dritte, durchaus umgearbeitete und vermehrte Auflage. Mit 496 Holzschnitten. gr. 8. 1867. 10 fl. — 6 Thlr.

Maly, Dr. Richard L., Professor an der Universität in Innsbruck. **Grundzüge der modernen Chemie** für Mediciner, Pharmaceuten und Chemiker. Mit 27 Holzschnitten. gr. 8. 1868. 4 fl. 50 kr. — 3 Thlr.

Digitized by Google

Digitized by Google

Digitized by Google

ATLAS

DER

PHYSIOLOGISCHEN UND PATHOLOGISCHEN

HARNSEDIMENTE

VON

Dr. R. ULTZMANN UND **Dr. K. B. HOFMANN**

EM. ASSISTENT DER PATH. CHEMIE IN WIEN. DOCENT AN DER K. K. UNIVERSITÄT IN WIEN.

IN 44 CHROMOLITHOGRAPHIRTEN TAFELN.

WIEN, 1871.

WILHELM BRAUMÜLLER

K. K. HOF UND UNIVERSITÄTSBUCHHÄNDLER.

Digitized by Google

BOSTON MEDICAL LIBRARY
IN THE
FRANCIS A. COUNTWAY
LIBRARY OF MEDICINE

38125

Digitized by Google

GEORGE CHEEVER SHATTUCK, M. D.
HARVARD MEDICAL SCHOOL
BOSTON 15, MASSACHUSETTS

January 5, 1948

Boston Medical Library
8 Fenway
Boston, Massachusetts

Gentlemen:

Dr. George C. Shattuck is pleased to donate the attached book "Atlas der Physiologischen und Pathologischen Harnsedimente" to the Boston Medical Library.

Very truly yours,

Irene H. Mulvey

(Mrs.) Irene H. Mulvey
Secretary to
Dr. George C. Shattuck

Digitized by Google

BOSTON MEDICAL LIBRARY
IN THE
FRANCIS A. COUNTWAY
LIBRARY OF MEDICINE

38125

Digitized by Google

DEN HOCHVEREHRTEN HERREN

PROFESSOR

Dr. JOH. FREIHERRN v. DUMREICHER

UND

PROFESSOR

Dr. FERDINAND HEBRA

HOCHACHTUNGSVOLL

DIE VERFASSER.

Digitized by Google

Digitized by Google

VORWORT.

Der vorliegende Atlas hat den Zweck: das Studium der Nierenkrankheiten und das der Semiotik des Harnes überhaupt zu erleichtern und zu fördern. Die Herausgeber haben in ihren Cursen wiederholt von Studirenden und praktischen Aerzten den Wunsch nach einem derartigen Bilderwerke äussern und ihre eigene Ansicht bestätigen gehört, dass ein solches trotz der vorhandenen umfassenderen Werke keineswegs überflüssig sein dürfte. So vortrefflich der Atlas von O. Funke oder der von Robin und Verdeil ist, so vermögen sie — wegen der weiter gefassten Aufgabe — das angedeutete Bedürfniss nicht völlig zu befriedigen. Diess setzt bezüglich der Harnsedimente eine Vollständigkeit voraus, welche bei den genannten Werken durch die Rücksicht auf das Ebenmass in der Durchführung ausgeschlossen war. In jenen Werken werden auch solche Gebiete der physiologischen Chemie betreten, welche bis jetzt für das Wirken des praktischen Arztes unmittelbar kaum fruchtbringend waren.

Robin und Verdeil stellen nur krystallisirte Bestandtheile der Sedimente dar, während die im Harne

Digitized by Google

vorkommenden organisirten Gebilde, welche für die Diagnose oft gerade von überwiegender Bedeutung sind, unberücksichtigt bleiben. — Dass diese Verbindungen zumeist nur in der krystallographisch vollkommensten Gestalt abgebildet sind, ist vom wissenschaftlichen Standpunkte durchaus anerkennenswerth; führt aber den Nachtheil mit sich, dass der Studirende und der streng wissenschaftlichen Untersuchungen ferner stehende Arzt, in den sonst trefflich ausgeführten Darstellungen die Originale unter dem Mikroskope kaum wiedererkennen kann.

Desshalb erstrebten die Verfasser möglichste Vollständigkeit innerhalb eines enger begrenzten Gebietes. Nur solches Materiale, welches für die Harnsemiotik von Wichtigkeit ist, sollte in diesem Werke Aufnahme finden, dieses aber auch so vollständig dargestellt werden, als es für den Eingangs bezeichneten Zweck wünschenswerth erscheinen konnte.

Der Atlas zerfällt in zwei Abtheilungen. In der ersten werden die einzelnen wichtigeren im normalen und pathologischen Harne vorkommenden Körper vorgeführt, in der zweiten sind die Sedimentbilder nach den verschiedenen Erkrankungen des Harn bereitenden und ableitenden Apparates zusammengestellt, für deren Diagnose sie in Betracht kommen.

Bei der Ausführung wurde speciell nach folgenden Grundsätzen vorgegangen:

Aufgenommen wurden alle Körper, welche sich als native Sedimente im Harn vorfinden. So weit eine künst-

Digitized by Google

liche Darstellung möglich war, wurde einem jeden Sedimente die Form der so erhaltenen (chemisch reineren) Verbindung vorangestellt. Ausser diesen wurden auch Verbindungen berücksichtigt, welche bei der Untersuchung des Harnes durch Anwendung gewisser Reagentien entstehen. So die mannigfaltigen Formen der auf Zusatz von Salzsäure ausfallenden Harnsäure, deren wichtigste Typen abgebildet wurden; so die Verbindung des Kreatinins mit Chlorzink, von dem eine seltene, bisher nicht abgebildete Gestalt, vorgeführt wird; so die Hippursäure, die Verbindungen des Harnstoffs mit Oxal- und Salpetersäure u. dgl.

Der Rücksicht auf Vollständigkeit verdanken ihre Aufnahme einige praktisch minder wichtige Stoffe, so das seiner Entstehung nach räthselhafte Indigo, das einer intrauterinen Nierenthätigkeit entspringende Allantoin, der Inosit, das Bilirubin.

Von den organisirten Gebilden sind mit grösserer Ausführlichkeit die Epithelien behandelt. Unter diesen Formen befinden sich einige von denen wegen ihrer grossen Aehnlichkeit nicht zu bestimmen ist, welchem Theile des uropoetischen Traktes sie angehören. Welcher semiotische Werth demnach dem Vorhandensein von Epithel im einzelnen Falle beigemessen werden kann, wie weit dasselbe einen Anhaltspunkt zur Diagnose gewährt, zeigt dem Studirenden am besten eine sorgfältige Vergleichung der mitgetheilten Abbildungen. Die Anwesenheit gewisser Epithelien belehrt ihn unmittelbar über den Ort der Erkrankung, während andere Formen nur bestätigenden Werth

Digitized by Google

haben, wenn der erstere aus anderweitigen Symptomen bereits vermuthet wird.

Manche Verbindungen z. B. Benzoësäure, Jodchinin u. s. w., welche ohnehin nur dem Körper einverleibt, in dem Harne auftreten, sind übergangen, um dem Werke keine übermässige Ausdehnung zu geben. Dies schien um so mehr gerechtfertigt, als das Aufsuchen derselben doch zumeist nur von Fachmännern geschieht, die das vorliegende Werk entbehren können.

Grundsätzlich aber blieben unberücksichtigt Formen, welche wohl von Andern abgebildet, aber von uns trotz des reichen Materiales, das uns seit Jahren im hiesigen allgem. Krankenhause zu Gebote stand — nie beobachtet worden sind. Wir wollten eben nur solche Sedimente aufnehmen, die wir selbst beobachtet haben. Man würde hier vergebens suchen Cylinder mit eingeschlossenen Krystallen von oxalsaurem Kalk oder Harnsäure — nie haben wir solche beobachtet, bei denen mit Bestimmtheit hätte behauptet werden können, dass diese Krystalle nicht zufällig aufgelagert waren; — ebensowenig finden sich die Hassal'schen Körperchen, der Bodo urinarius [1]), eine Anzahl von Cylinderformen, die Beale abbildet [2]), und andere Sedimente, die Golding-Bird und Hassal und nach ihnen Beale dargestellt hat, darunter recht abenteuerliche

---

[1]) Hassal, Urine in health and disease. 2. ed. Fig. 68 (p. 256) und Fig. 78 (p. 362).

[2]) Lionel S. Beale Kidney diseases. 3. ed. die Figuren 8, 51, 83, 84b, 92, 110.

Digitized by Google

Gestalten, welche den Eindruck von zufälligen Verunreinigungen machen.

Die Darstellungen der II. Abtheilung sollen dem Anfänger als Leitfaden durch das schwierige Gebiet der Diagnose der Nierenkrankheiten dienen. Hier konnte nicht entfernt die nämliche Vollständigkeit erstrebt werden, wie im I. Theile. Die Abbildungen führen nur die gewöhnlichsten Befunde vor, die einer jeden dieser Krankheitsformen eigen sind. Nothwendigerweise wird aber der Befund oft genug anders ausfallen, als er hier dargestellt ist, sowohl wegen vielfacher Uebergangsstadien derselben Krankheit, als auch wegen eintretender Complicationen. Ebenso darf nicht unberücksichtigt bleiben, dass bei manchen Erkrankungen (namentlich bei Blasenkrebs, Echinococcus der Niere) nur in seltenen Fällen sich so charakteristische, die Diagnose sichernde Bilder gewinnen lassen, wie die hier mitgetheilten.

Eine eigene Tafel zufälliger Verunreinigungen aufzunehmen, bewog uns die Rücksicht auf den Anfänger.

Unsere Abbildungen haben wir nicht schematisch, sondern so weit wir es eben vermochten, bis in die Zufälligkeiten der Anordnung nach der Natur angefertigt. Selbstverständlich wurden aus mehreren Präparaten immer nur die belehrendsten und an ihnen selbst wieder nur die charakteristischsten Stellen ausgewählt.

Wir bedienten uns zur Vergrösserung eines Mikroskops von Hartnack und wendeten entsprechend dem Objecte bald Ocular III und Objectiv 7, bald Ocular IV und Ob-

Digitized by Google

jectiv 7 an, worüber die Tabelle am Schlusse des Werkes nähere Auskunft gibt.

Der den Tafeln beigefügte Text enthält, ausser der Bezeichnung des Gegenstandes, nur eine kurze Angabe über die Verhältnisse unter denen man ihn findet, über seine Gestalt, und bei künstlichen Präparaten, über die von uns beobachtete Darstellungs-Methode. Die im Texte vorkommenden Formeln entsprechen den Anschauungen der modernen Chemie, doch wurden zugleich die noch gebräuchlichen alten Bezeichnungen beigefügt.

Die lithografische Ausführung sämmtlicher Tafeln war Herrn Dr. Heitzmann anvertraut.

Wien, im Mai 1871.

Die Verfasser.

Digitized by Google

Uebersichtstafel.

(Die römische Ziffer bezeichnet das Ocular, die arabische das Objectiv des Hartnack'schen Mikroskops.)

I. 1. Grundformen der Harnsäure (Ultzmann).
I. 2. Gereinigte Harnsäure (Hofmann) vergr. III. 7.
II. 1. Mit Salzsäure ausgefällte Harnsäure (Hofmann) vergr. III. 7.
II. 2. Mit Salzsäure ausgefällte Harnsäure (Hofmann) vergr. III. 7.
III. 1. Harnsäure aus Sedimentum lateritium dargestellt (Hofmann) vergr. III. 7.
III. 2. Harnsäure aus dem Niereninfarkt eines Kindes dargestellt (Hofmann) vergr. III. 7.
IV. 1. Harnsäure mit Salzsäure ausgefällt (Hofmann) vergr. III. 7.
IV. 2. Harnsäure aus einem Stein dargestellt (Ultzmann) vergr. III. 7.
V. 1. Harnsäure mit Salzsäure ausgefällt (Hofmann) vergr. III. 7.
V. 2. Native wetzsteinförmige Harnsäure (Hofmann) vergr. III. 7.
VI. 1. Native fassförmige Harnsäure (Hofmann) vergr. III. 7.
VI. 2. Native spiessige Harnsäure (Hofmann) vergr. III. 7.
VII. 1. Native Harnsäuredrusen; Krystalle auf die Kante gestellt (Hofmann) vergr. III. 7.
VII. 2. Native Harnsäuredrusen; Krystalle nach der Fläche gestellt (Hofmann) vergr. III. 7.
VIII. 1. Künstliches harnsaures Natron (Ultzmann) III. 7.
VIII. 2. Sedimentum lateritium (natives harnsaures Natron) (Ultzmann) III. 7.
IX. 1. Krystallisirtes harnsaures Natron (Ultzmann) vergr. III. 7.
IX. 2. Dasselbe bei Zusatz von Essigsäure (Ultzmann) vergr. III. 7.
X. 1. Harnsaures Natron-Ammon (Ultzmann) vergr. III. 7.
X. 2. Künstliches harnsaures Ammon (Ultzmann) vergr. III. 7.
XI. 1. } Natives harnsaures Ammon (Hofmann) vergr. III. 7.
XI. 2. }
XII. 1. Allantoin (Hofmann) vergr. III. 7.
XII. 2. Harnstoff (Ultzmann) vergr. III. 7.
XIII. 1. Oxalsaurer Harnstoff (Ultzmann) vergr. III. 7.
XIII. 2. Salpetersaurer Harnstoff (Ultzmann) vergr. III. 7.
XIV. 1. Hippursäure (Hofmann) vergr. III. 7.
XIV. 2. Kreatinin (Ultzmann) vergr. III. 7.

Digitized by Google

XV. 1. } Kreatinin-Chlorzink (Hofmann) vergr. III. 7.
XV. 2. }
XVI. 1. Leucin und Tyrosin (Ultzmann) vergr. III. 8.
XVI. 2. Cystin (Ultzmann) vergr. III. 7.
XVII. 1. Inosit (Ultzmann) vergr. III. 7.
XVII. 2. Harnindigo (Hofmann) vergr. IV. 7.
XVIII. 1. Teichmann'sche Blutkrystalle (Hofmann) vergr. IV. 7.
XVIII. 2. Bilirubin (Hofmann) vergr. IV. 7.
XIX. 1. Oxalsaurer Kalk (Ultzmann) vergr. IV. 7.
XIX. 2. Kohlensaurer Kalk (Ultzmann) III. 7.
XX. 1. Krystallisirter phosphorsaurer Kalk (Ultzmann) vergr. III. 7.
XX. 2. Künstliches Tripelphosphat (Hofmann) vergr. III. 7.
XXI. 1. Natives Tripelphosphat (Ultzmann) vergr. III. 7.
XXI. 2. Tripelphosphat und harnsaures Ammon (Hofmann) vergr. III. 7.
XXII. 1. Sediment des normalen Harns (Ultzmann) vergr. III. 7.
XXII. 2. Sediment bei sogenannter saurer Gährung (Ultzmann-Hofmann) vergr. III. 7.
XXIII. 1. Sediment bei sogenannter saurer Gährung (Ultzmann-Hofmann) vergr. III. 7.
XXIII. 2. Sediment bei alkalischer Gährung (Ultzmann) vergr. III. 7.
XXIV. 1. Eingedampfter Normalharn (Ultzmann) vergr. III. 7.
XXIV. 2. Eingedampfter Harn bei acuter gelber Leberatrophie (Hofmann) vergr. III. 7.
XXV. 1. Bacterien (Ultzmann) vergr. IV. 7.
XXV. 2. Saccharomyces und Penicilliumsporen (Ultzmann) vergr. IV. 7.
XXVI. 1. Thalus von Penicillium (Hofmann) vergr. IV. 7.
XXVI. 2. Sarcina des Harnes (Ultzmann) vergr. IV. 7.
XXVII. 1. Blutkörperchen (Hofmann) vergr. III. 7.
XXVII. 2. Eiterzellen (Ultzmann) vergr. III. 7.
XXVIII. 1. Harnsäure-Cylinder (Hofmann) vergr. III. 7.
XXVIII. 2. Hyaline Cylinder (Ultzmann) vergr. III. 7.
XXIX. 1. Epithel-Cylinder (Ultzmann) vergr. IV. 7.
XXIX. 2. Derbe Fibrin-Cylinder (Hofmann) vergr. IV. 7.
XXX. 1. Feingranulirte Cylinder (Hofmann) vergr. III. 7.
XXX. 2. Wachscylinder (Hofmann) vergr. III. 7.
XXXI. 1. Epithel der Niere (Ultzmann) vergr. III. 7.
XXXI. 2. Epithel der Nierenbecken (Ultzmann) vergr. III. 7.
XXXII. 1. Epithel der Harnblase (Ultzmann) vergr. III. 7.
XXXII. 2. a) Epithel der Prostata (Ultzmann) III. 7.
XXXII. 2. b) Epithel der Cowper'schen Drüsen (Ultzmann) vergr. III. 7.
XXXIII. 1. a) Epithel der männlichen Harnröhre (Ultzmann) vergr. III. 7.
XXXIII. 1. b) Epithel der Littre'schen Drüsen (Ultzmann) verg. III. 7.
XXXIII. 2. a) Epithel der weiblichen Harnröhre (Ultzmann) vergr. III. 7.
XXXIII. 2. b) Epithel aus der Vagina (Ultzmann) vergr. III. 7.
XXXIV. 1. Sediment bei Stauungsniere (Ultzmann) vergr. III. 7.
XXXIV. 2. Sediment bei Nierenblutung (Hofmann) vergr. III. 7.

Digitized by Google

XXXV. 1. Sediment bei desquamat. Nephritis (Ultzmann) vergr. III. 7.
XXXV. 2. Sediment bei acutem Morbus Brightii (Hofmann) vergr. III. 7.
XXXVI. 1. Sediment bei granulärer Atrophie (Ultzmann) vergr. III. 7.
XXXVI. 2. Sediment bei Amyloidniere (Ultzmann) vergr. III. 7.
XXXVII. 1. Acute Pyelitis (Ultzmann) vergr. III. 7.
XXXVII. 2. Chronische Pyelitis (Ultzmann) vergr. III. 7.
XXXVIII. 1. Pyelitis calculosa (Hofmann-Ultzmann) vergr. III. 7.
XXXVIII. 2. Pyelitis calculosa (Hofmann-Ultzmann) vergr. III. 7.
XXXIX. 1. Acute Cystitis (Ultzmann) vergr. III. 7.
XXXIX. 2. Chronische Cystitis (Ultzmann) vergr. III. 7.
XL. 1. Blasenblutung (Ultzmann) vergr. III. 7.
XL. 2. Carcinom der Blase (Ultzmann) vergr. III. 7.
XLI. 1. Spermatorrhöe (Hofmann) vergr. IV. 7.
XLI. 2. Tripperfaden (Ultzmann) vergr. III. 7.
XLII. 1. } Zottenkrebs (Heitzmann) vergr. III. 4. und III. 7.
XLII. 2. }
XLIII. 1. Echinococcus (Ultzmann) vergr. III. 7.
XLIII. 2. Haken von Echinococcus (Ultzmann) III. 7.
XLIV. 1. Verunreinigungen (Hofmann) vergr. III. 7.
XLIV. 2. Verunreinigungen (Ultzmann) vergr. III. 7.

Digitized by Google

Digitized by Google

ERSTER THEIL.

Digitized by Google

Digitized by Google

I. Tafel.

Digitized by Google

I. Bild. Grundformen der in Lamellen krystallisirten Harnsäure. Aufgenommen sind nur die dem Grundtypus eines gleichseitigen Rhombus am nächsten stehenden Gestalten, mit mehr oder weniger abgestumpften Winkeln, so wie ihre einfachsten Combinationen (Durchkreuzungszwillinge, der Längsachse nach verwachsen). Diese Formen können auch nach den beiden andern Richtungen stärker entwickelt sein, wodurch sie ihre Lamellengestalt verlieren. Das Bild zeigt Rauten von verschiedenen Winkeln, solche wo die stumpfen abgerundet sind (Wetzsteinform); wo sie durch eine Fläche ersetzt sind (sechsseitige langgestrekte Tafeln); Wetzsteinformen mit einem länger gestreckten spitzeren Winkel; solche, wo beide abgestumpft sind (Fassform) und solche wo sie zapfenförmig ausgezogen sind.

II. Bild. Gereinigte Harnsäure, $= C_5 H_4 N_4 O_3 = C_{10} H_4 N_4 O_6$ dargestellt durch Auflösen der nativen oder durch Zusatz von Chlorwasserstoffsäure aus Harn gefällten Krystalle in Kalilauge und Wiederausfällen mit Salzsäure. An manchen Lamellen erkennt man halbe Wetzsteinformen, andere sind einfache Rhomben und Rechtecke. Nur die gereinigte Harnsäure ist fast farblos.

Digitized by Google

1.

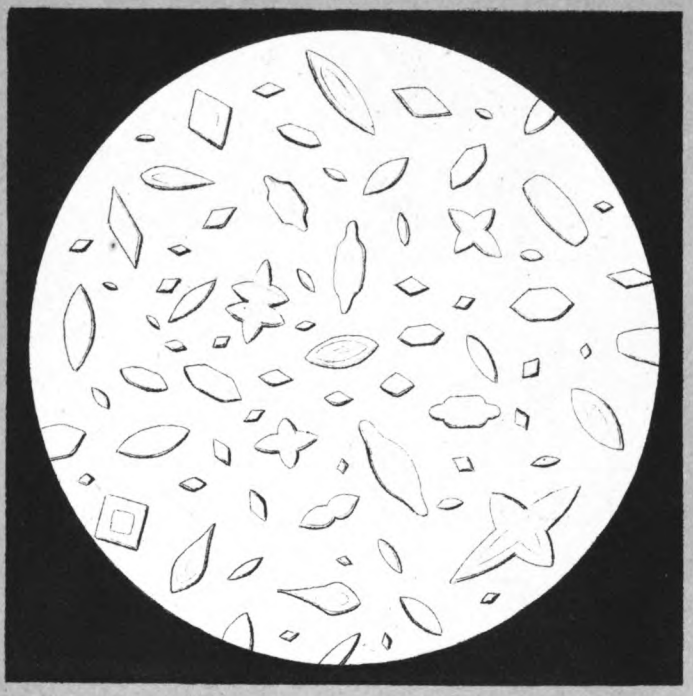

2.

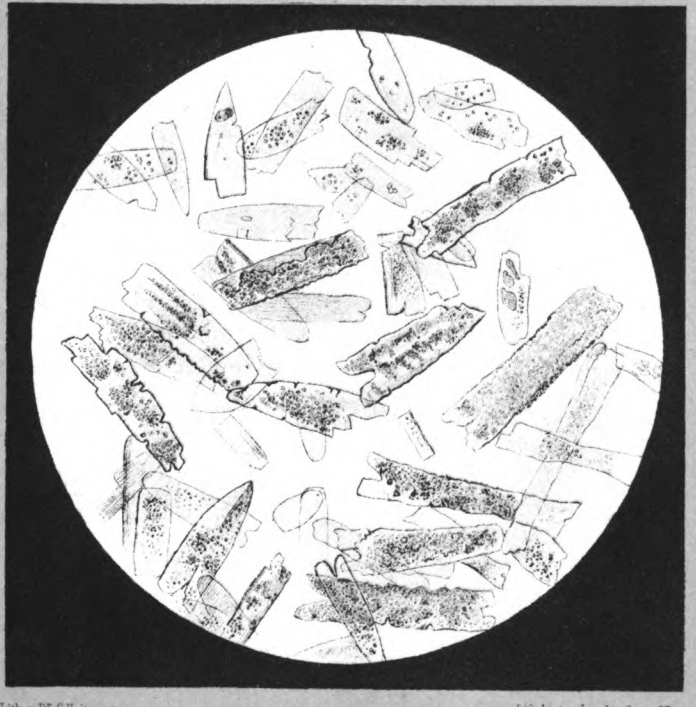

Lith. v. Dr. C. Heitzmann.

Lith. Anst. v. Appel & Comp. Wien.

Verlag v. W. Braumüller.

Digitized by Google

Digitized by Google

II. Tafel.

Digitized by Google

I. Bild. Harnsäure durch Salzsäure ausgefällt. Auf 20 Theile Harn ist ein Theil Salzsäure verwendet. Die Krystalle bilden sich innerhalb 24 Stunden. Die Krystalle sind theils pfeilförmig, theils bilden sie lichter gefärbte Kerne, auf deren zwei entgegengesetzten Seiten verschieden lange und verschieden dicke dunkler gefärbte Nadeln parallel aufsitzen (Kammformen).

II. Bild. Durch Salzsäure gefällte Harnsäure in Gestalt von grossen, derben Durchwachsungszwillingen (Kreuzen). Die verschiedene Farbe der Krystalle ist von verschiedenem Gehalt des mitgerissenen Harnfarbstoffes bedingt.

Digitized by Google

1.

2.

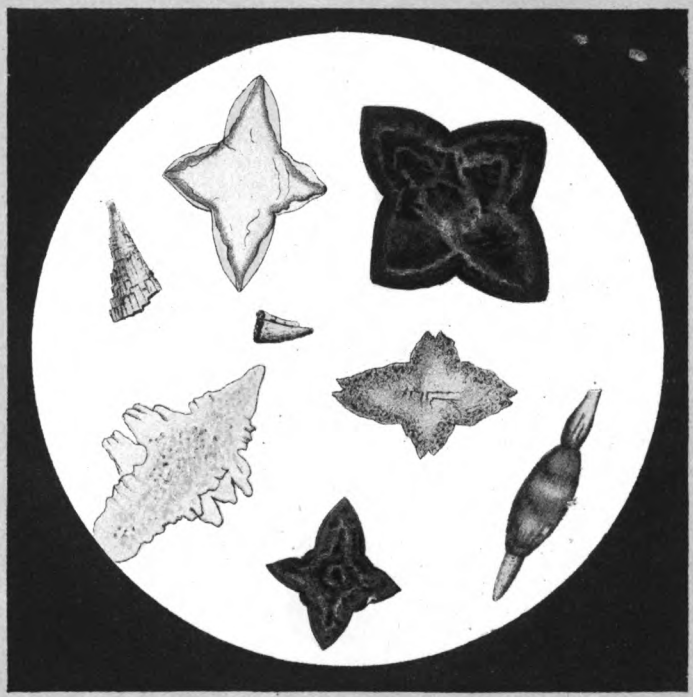

Lith. v. Dr. C. Heitzmann. Lith. Anst. v. Appel & Comp. Wien.

Verlag v. W. Braumüller.

Digitized by Google

Digitized by Google

III. Tafel.

Digitized by Google

I. Bild. Harnsäure in Gestalt sogenannter Dumbbells (Hanteln), dargestellt aus amorphem harnsauren Natron. Etwas Sedimentum lateritium wird auf einem Objectglas eingetrocknet, dann mit einem Tropfen Salzsäure befeuchtet und, wenn nöthig, über einer Spirituslampe vorsichtig bis zur völligen Lösung erwärmt. Das Deckglas wird vortheilhaft erst nach der Abkühlung und erfolgten Bildung der Krystalle aufgelegt. Durch Combination zweier unter 90, oder dreier unter je 60 Graden sich durchdringender Dumb-bells entstehen Kreuze und Rosetten.

II. Bild. Harnsäure, theils in Garbenform mit fingeriger Verzweigung, theils in sechs- und mehrseitigen Blättchen. Diese Formen, demselben Präparate entnommen, wurden durch Auflösung eines Harnsäureinfarctes (aus einer Kinderniere) in Kalilauge und Ausfällung mit Salzsäure dargestellt. Die Blättchen sind ganz farblos und nähern sich am meisten der gereinigten Harnsäure.

Digitized by Google

1.

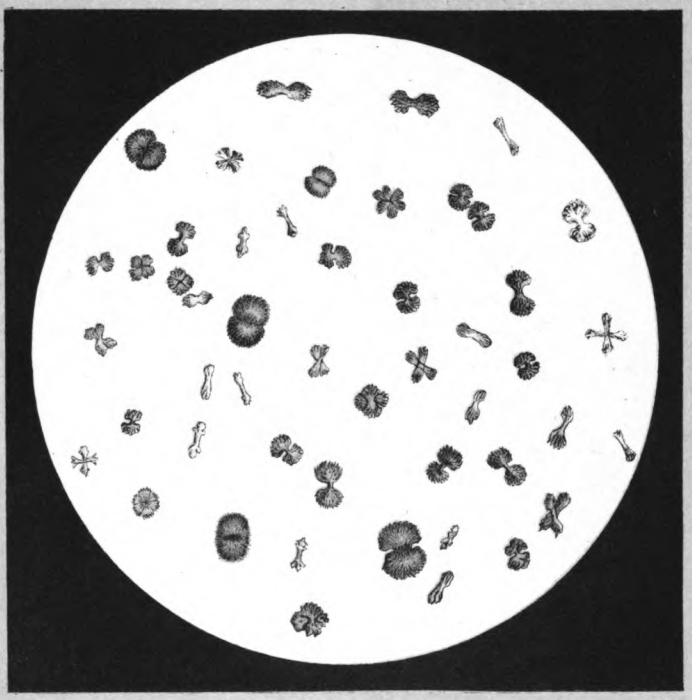

2.

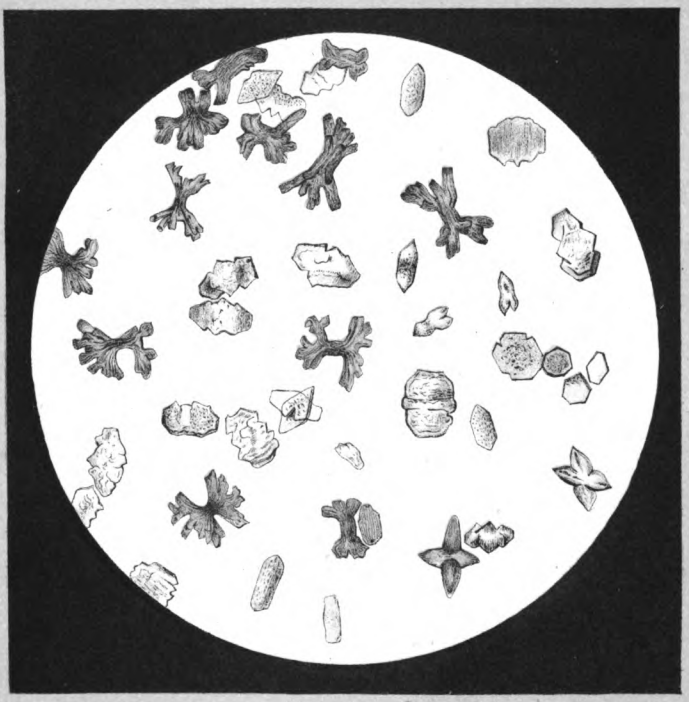

Lith. v. Dr C. Heitzmann. Lith. Anst. v. Appel & Comp. Wien.

Verlag v. W. Braumüller.

Digitized by Google

Digitized by Google

IV. Tafel.

Digitized by Google

I. Bild. Harnsäure durch Salzsäure ausgefällt. Dieses Bild zeigt theils einzelne, theils zu zweien zusammengewachsene reiskornartige Gestalten, theils mehr oder weniger ausgebildete Rauten mit verschiedengestalteten, unregelmässigen Auswüchsen.

II. Bild. Harnsäure durch Salzsäure ausgefällt. Bruchstücke eines Harnsäuresteines in Kalilauge gelöst, mit Salzsäure versetzt. Die Formen theils fassartig, theils Getreidekörnern ähnlich.

Digitized by Google

1.

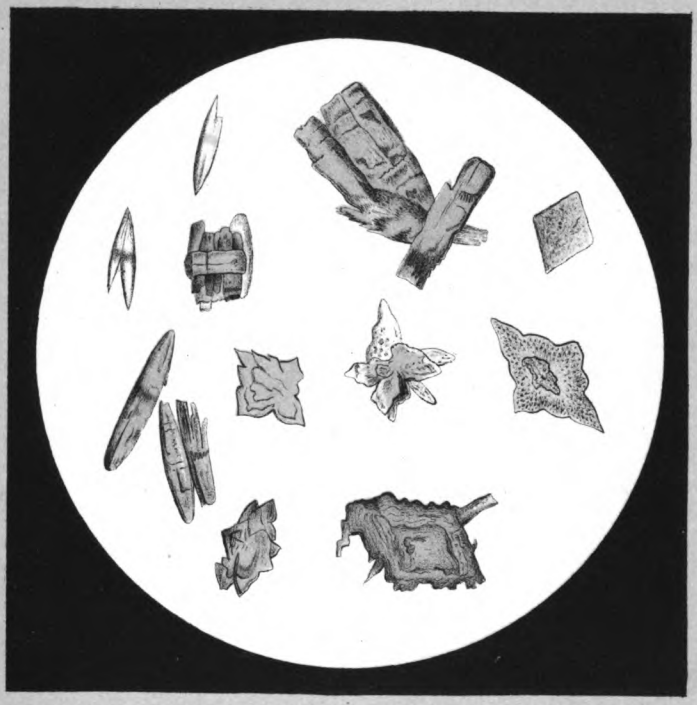

2.

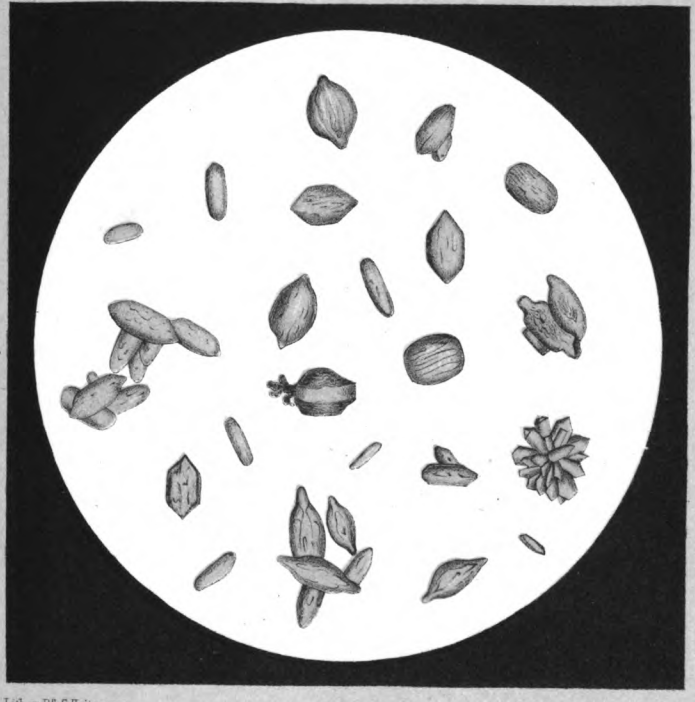

Lith. v. Dr C. Heitzmann. Lith. Anst. v. Appel & Comp. Wien.

Verlag v. W. Braumüller.

Digitized by Google

Digitized by Google

V. Tafel.

Digitized by Google

I. Bild. Harnsäure mit Salzsäure ausgefällt. Keil- und Nadelformen; Gruppen von Nadeln. Die Krystalle von Harnindigo schmutzig violett gefärbt.

II. Bild. Native Harnsäure in der regelmässigsten Form, in der sie im Harne beobachtet wird, rhombische Tafeln, deren stumpfe Winkel abgerundet sind, darstellend.

Digitized by Google

1.

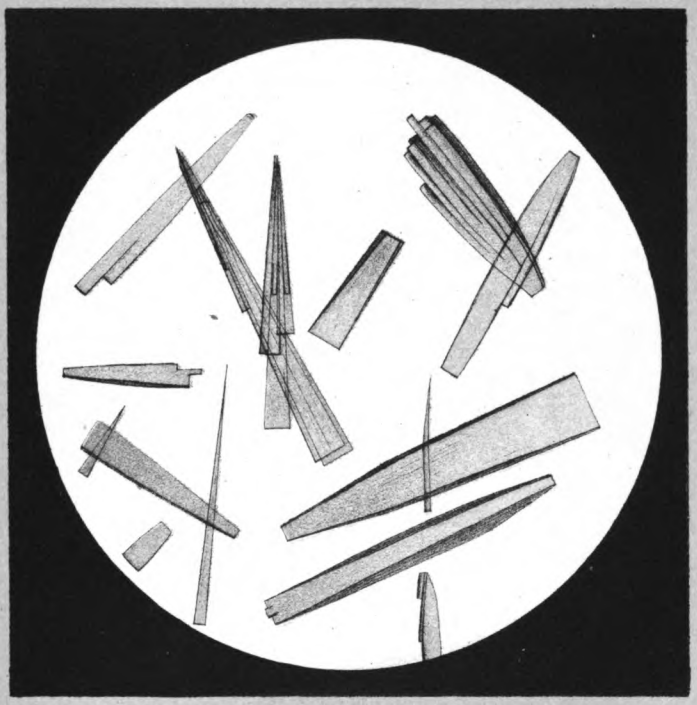

2.

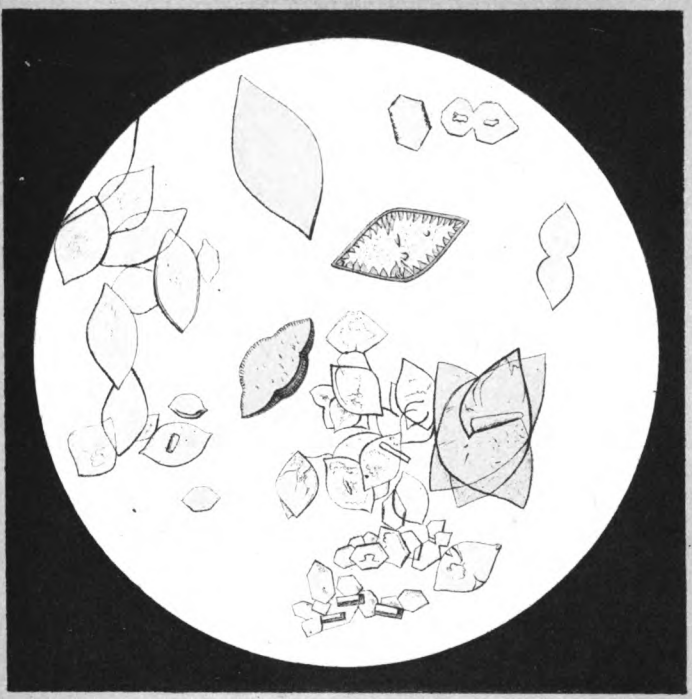

Lith. v. Dr. C. Heitzmann. Lith. Anst. v. Appel & Comp. Wien.

Verlag v. W. Braumüller.

Digitized by Google

Digitized by Google

VI. Tafel.

Digitized by Google

I. Bild. Native Harnsäure. Fassformen mit einer um die Mitte laufenden Leiste; unregelmässige Tafeln, und einzelne Rauten. Aus dem Harn eines an Nierenblutung Leidenden.

II. Bild. Native Harnsäure. Seltenere Form mit langen, von einem dunkleren Kerne strahlig abgehenden Spiessen. Aus dem Harn eines an Pyelitis calculosa leidenden Mannes. Dazwischen einzelne unregelmässige Formen.

Digitized by Google

1.

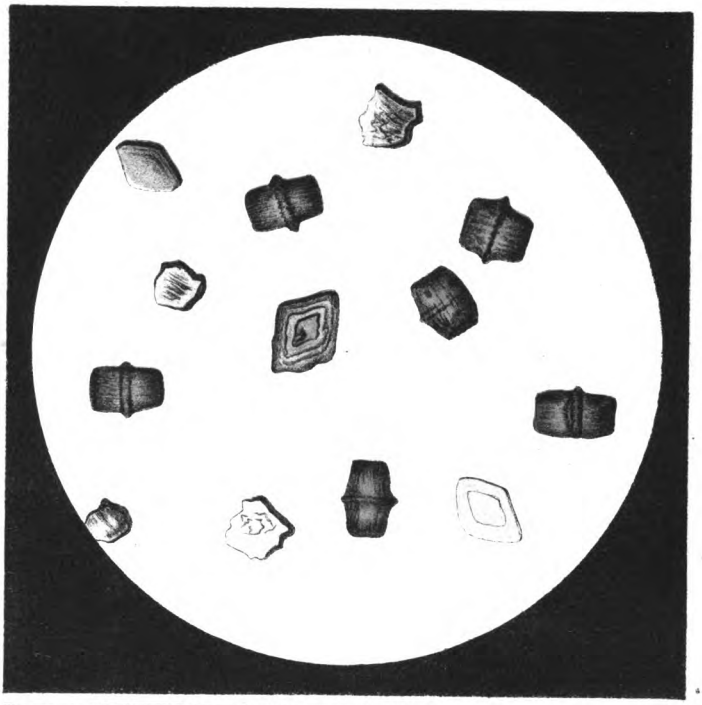

2.

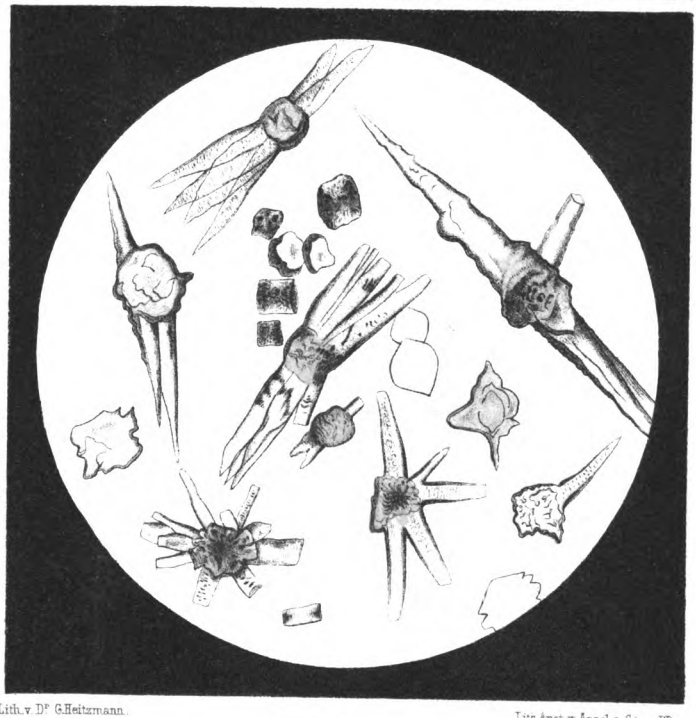

Lith. v. Dr. G. Heitzmann. Lith. Anst. v. Appel & Comp. Wien.

Verlag v. W. Braumüller.

Digitized by Google

Digitized by Google

VII. Tafel.

Digitized by Google

I. Bild. Native Harnsäure. Rosetten zusammengesetzt aus wetzsteinförmigen nach der Kante gestellten Krystallen, daneben einzelne wetzsteinförmige Krystalle, die an den stumpfen Winkeln eingekerbt sind, und ein einzelner grosser Krystall, der aus kleineren dachziegelförmig übereinander angeordneten Wetzsteinen zusammengesetzt ist. — Aus einem Morgenharn.

II. Bild. Native Harnsäure. Schön ausgebildete Krystalldrusen, die aus grossen, dicken nach der Fläche gelagerten theilweise stufenförmig übereinander angeordneten Wetzsteinen zusammengesetzt sind.

Digitized by Google

1.

2.

Lith v Dr C Heitzmann. Lith. Anst. v. Appel & Comp. Wien.

Verlag v. W Braumüller.

Digitized by Google

Digitized by Google

VIII. Tafel.

Digitized by Google

I. Bild. Künstliches harnsaures Natron = $C_5 H_3 Na N_4 O_3$ = $Na O C_{10} H_3 N_4 O_6$. Es ist dargestellt durch Sättigung einer kochenden concentrirten Lösung von kohlensaurem Natron mit Harnsäure; die Lösung wird dann filtrirt und zum Krystallisiren hingestellt; feine Nadeln die theils zu kleinen Grasähren ähnlich sehenden Büscheln, theils zu strahligen Kugeln angeordnet sind.

II. Bild. Natives harnsaures Natron. Amorphe gelblich gefärbte, am Objectglas sich moosartig gruppirende Staubmassen, die Hauptmasse des Sedimentum lateritium bildend. Dazwischen sieht man einzelne Gährungspilze.

Digitized by Google

1.

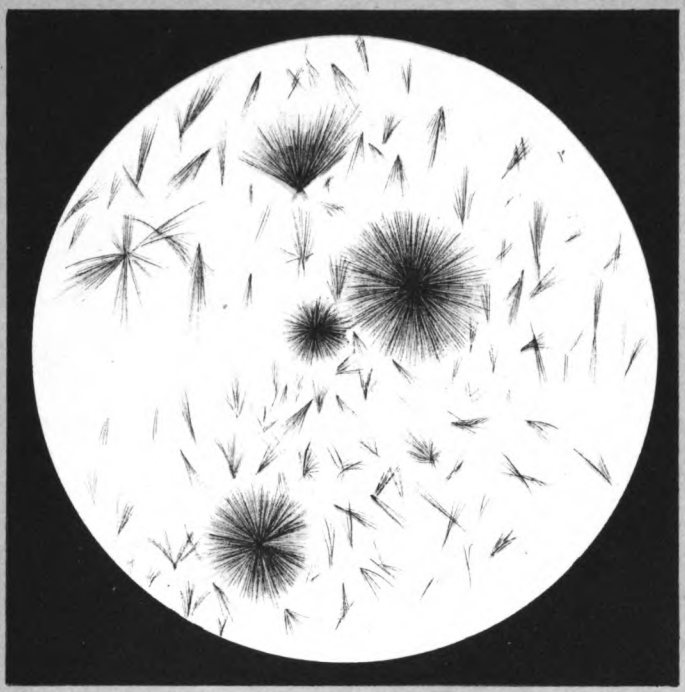

2.

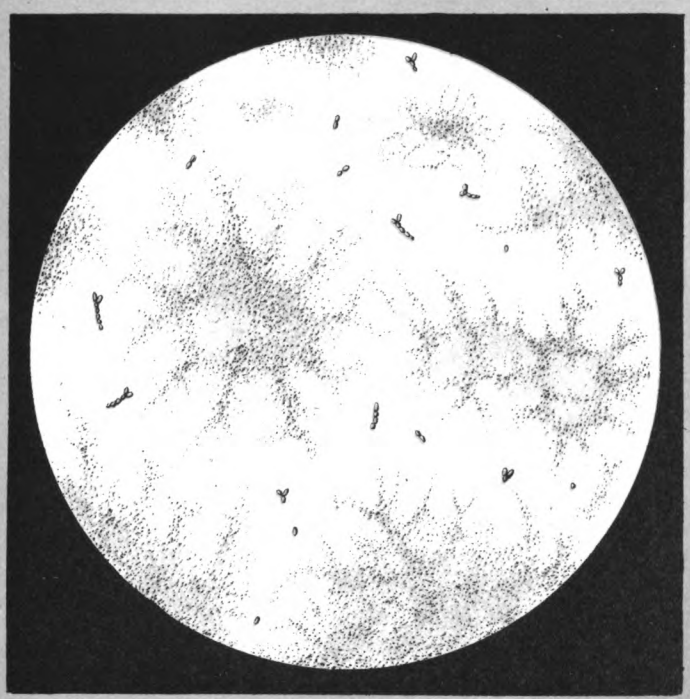

Lith. v. Dr C. Heitzmann.

Lith. Anst. v. Appel & Comp. Wien.

Verlag v. W. Braumüller.

Digitized by Google

Digitized by Google

IX. Tafel.

Digitized by Google

I. Bild. Harnsaures Natron, sehr seltenes Sediment aus dem stark sauren Harne eines an Darmkatarrh leidenden Kindes; zu einseitigen Garben vereinigte, mit den Spitzen nach dem Centrum, mit den Basen nach aussen gekehrte Nadeln.

II. Bild. Das gleiche Sediment bei Zusatz von Essigsäure. Die Garben schmelzen von der Peripherie aus und gleichzeitig schiessen kleine Rhomben von Harnsäure hervor.

Digitized by Google

1.

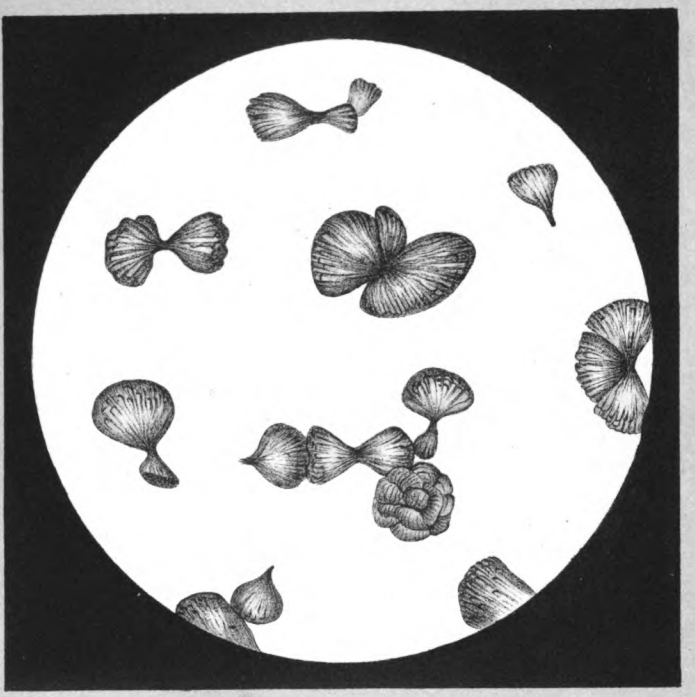

2.

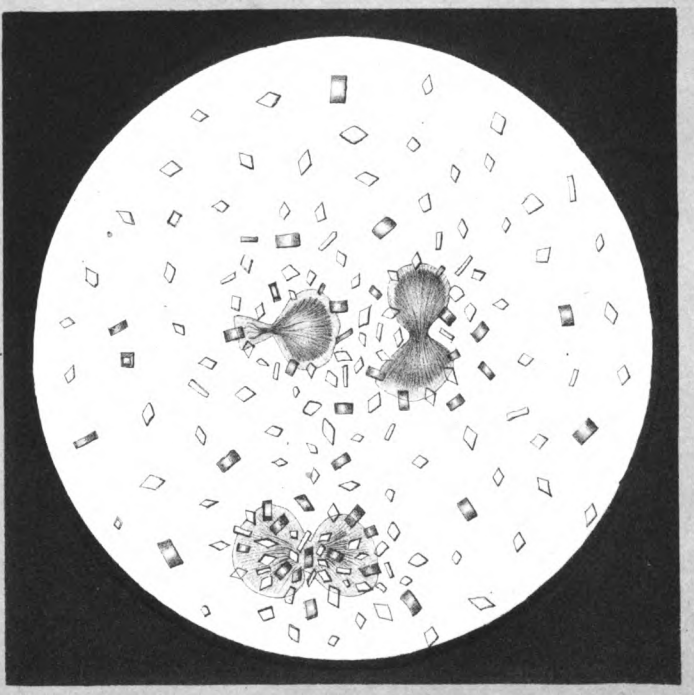

Lith. v. Dr. C. Heitzmann. Lith. Anst. v. Appel & Comp. Wien.

Verlag v. W. Braumüller.

Digitized by Google

Digitized by Google

X. Tafel.

Digitized by Google

I. Bild. Körniges harnsaures Natron-Ammon $= C_5 H_2 Na (NH_4) N_4 O_3$ aus dem Sedimente eines Fieberkranken bei neutraler Reaction des Harnes.

II. Bild. Künstliches harnsaures Ammon $= C_5 H_3 (NH_4) N_4 O_3 = C_{10} H_3 N_4 O_6 (NH_4)$. Es wird dargestellt, indem man Ammoniak mit überschüssiger Harnsäure kocht, filtrirt und das Filtrat bis zur Krystallisation eindampft. Das Sediment stellt feine Nadeln dar, welche theils unter verschiedenen Winkeln quer übereinander geworfen sind, theils strahlige Kugeln bilden.

Digitized by Google

1.

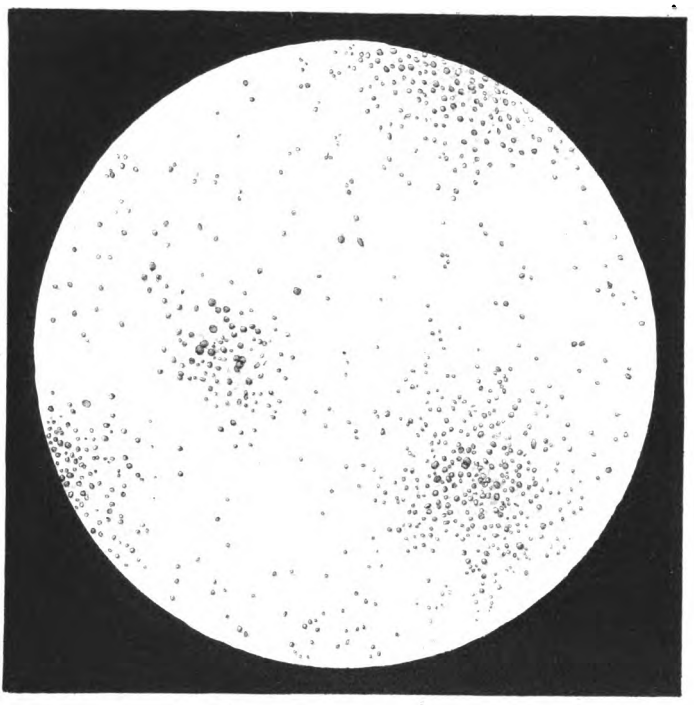

2.

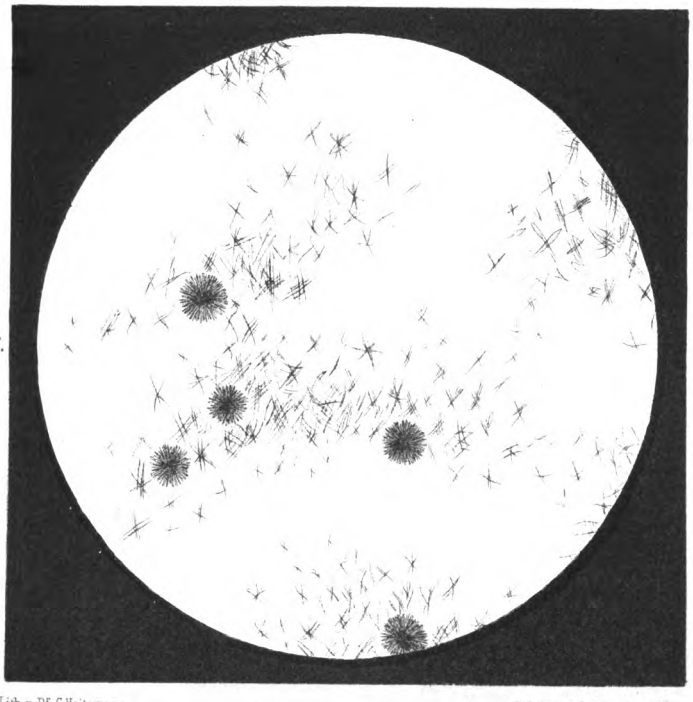

Lith. v. Dr. C. Heitzmann.

Lith. Anst. v. Appel & Comp. Wien.

Verlag v. W. Braumüller.

Digitized by Google

Digitized by Google

XI. Tafel.

Digitized by Google

I. Bild. Natürliches harnsaures Ammon. Theils einzelne, theils Doppelkugeln bildend. Nur wenige davon sind mit einzelnen kurzen Fortsätzen versehen.

II. Bild. Natives harnsaures Ammon mit langen, theilweise verzweigten Ausläufern versehen. (Stechapfel-, Rübenformen.)

Digitized by Google

1.

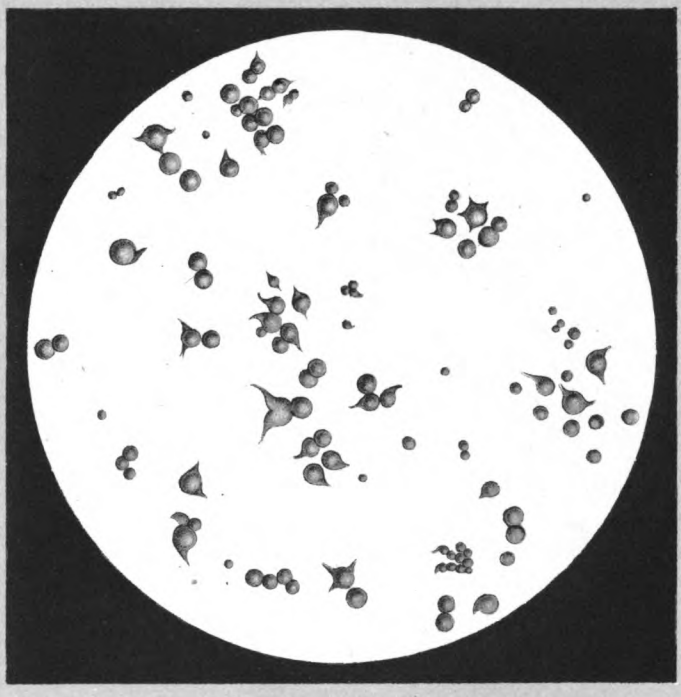

2.

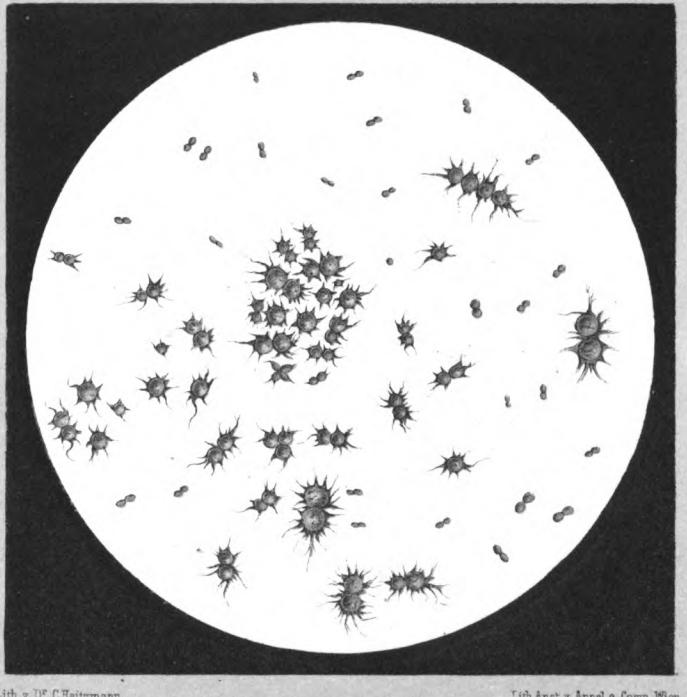

Lith. v. Dr C. Heitzmann.

Lith. Anst. v. Appel & Comp. Wien.

Verlag v. W. Braumüller.

Digitized by Google

Digitized by Google

XII. Tafel.

Digitized by Google

I. Bild. Allantoin = $C_4 H_6 N_4 O_3$ = $C_8 H_6 N_4 O_6$ künstlich dargestellt. Man kocht Harnsäure mit braunem Bleisuperoxyd, filtrirt heiss und lässt aus dem Filtrate auskrystallisiren. Allantoin kommt nativ in der Allantoisflüssigkeit des Menschen vor.

II. Bild. Harnstoff = $C H_4 N_2 O$ = $C_2 H_4 N_2 O_2$ rein auskrystallisirt aus alkoholischer Lösung.

Digitized by Google

1.

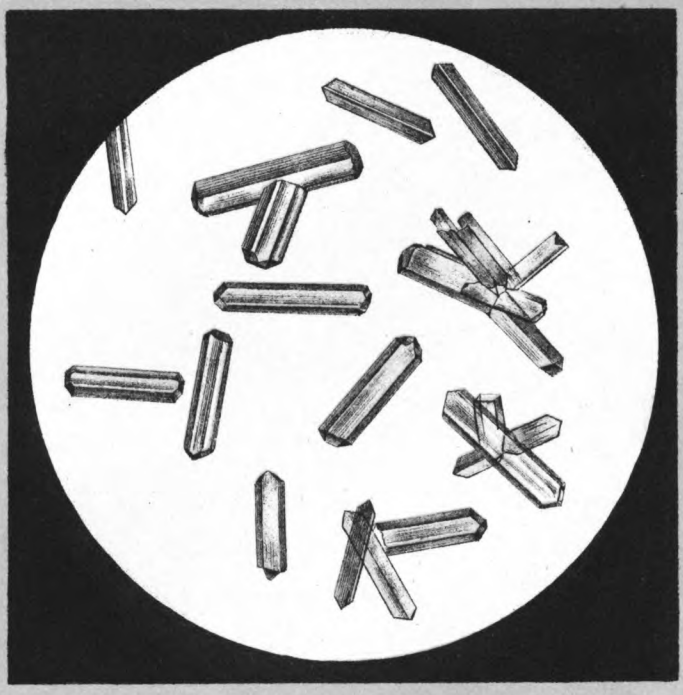

2.

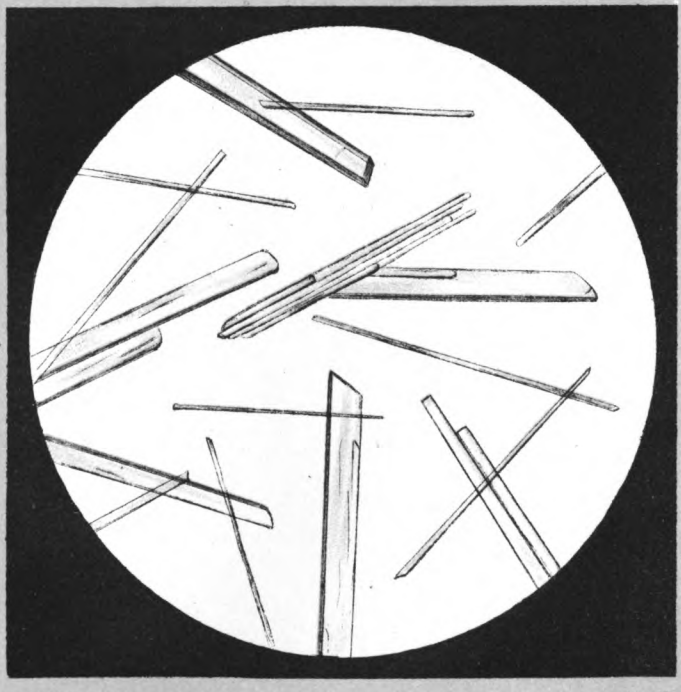

Lith. v. Dr C. Heitzmann. Lith. Anst. v. Appel & Comp. Wien.

Verlag v. W. Braumüller.

Digitized by Google

Digitized by Google

XIV. Tafel.

Digitized by Google

I. Bild. Hippursäure aus Menschenharn C_9 H_9 NO_3 = C_{18} H_9 NO_6. Sie ist gewonnen durch Zusatz von Salzsäure. Theils schiefe rhombische Tafeln, theils lange Prismen, welche zuweilen einander unter spitzen Winkeln aufgesetzt sind. Mehrere Krystalle zeigen Lufträume.

II. Bild. Kreatinin C_4 H_7 N_3 O = C_8 H_7 N_3 O_2; durch Kochen des Kreatinin-Chlorzinks $(C_4$ H_7 N_3 $O)_2$ Zn Cl_2 = C_8 H_7 N_3 O_2 . Zn Cl mit frischgefälltem Bleioxydhydrat gewonnen. Bildet wetzsteinartige Krystalle.

Digitized by Google

1.

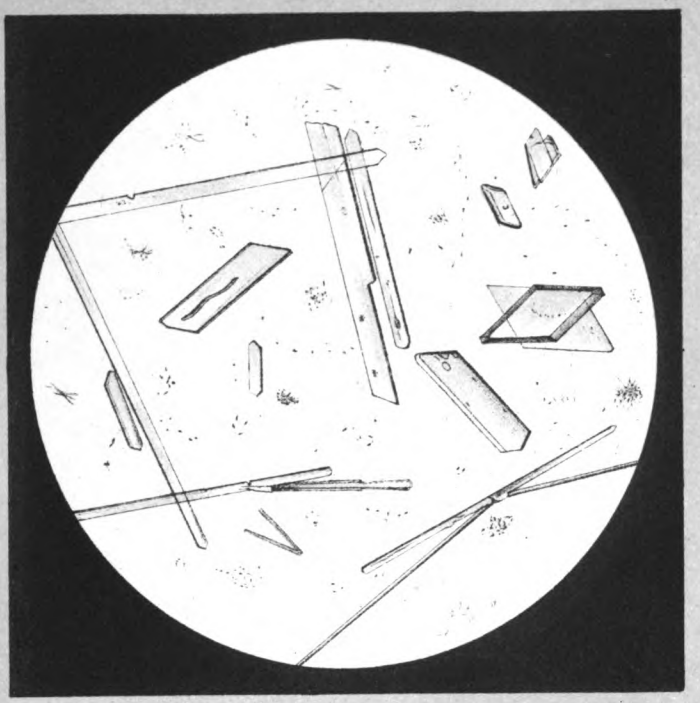

2.

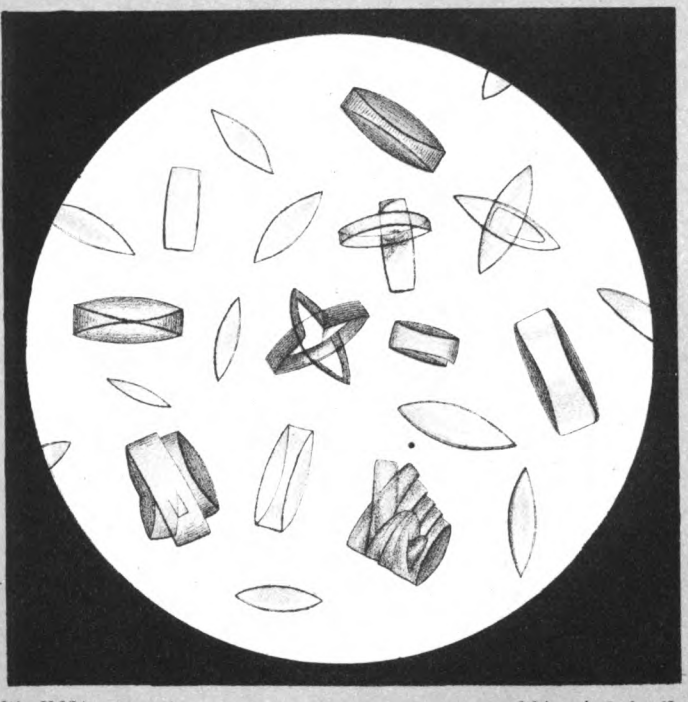

Lith. v. Dr C. Heitzmann. Lith. Anst. v. Appel & Comp. Wien.

Verlag v. W. Braumüller.

Digitized by Google

Digitized by Google

XV. Tafel.

Digitized by Google

I. Bild. Kreatinin-Chlorzink $(C_4 H_7 N_3 O)_2 . Zn Cl_2 = C_8 H_7 N_3 O_2 . Zn Cl$. Nach Neubauers Methode aus dem Alkoholextracte des Harnes dargestellt. Die eine Hälfte des Bildes zeigt einzelne und zusammengeschmolzene kuchenförmige Massen, die aus strahlig angeordneten feinsten Nadeln bestehen und concentrische Kreise zeigen; dazwischen finden sich kleinere Kugeln, wie sie sich bei raschem Auskrystallisiren bilden. Die andere Hälfte des Bildes zeigt rasen- und garbenförmige Gruppen von aus heisser wässeriger Lösung auf dem Objectglase umkrystallisirtem Kreatinin-Chlorzink.

II. Bild. Kreatinin-Chlorzink nach Neubauers Methode dargestellt. Eine seltenere Form.

Digitized by Google

1.

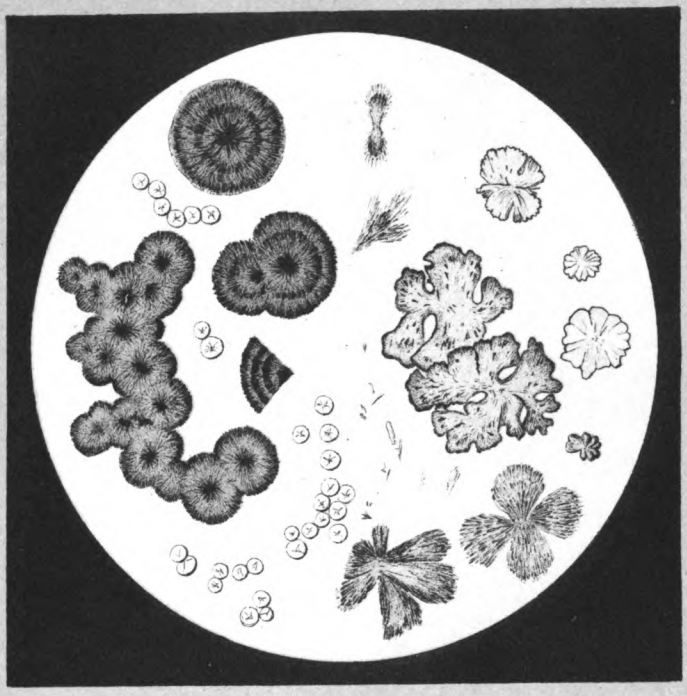

2.

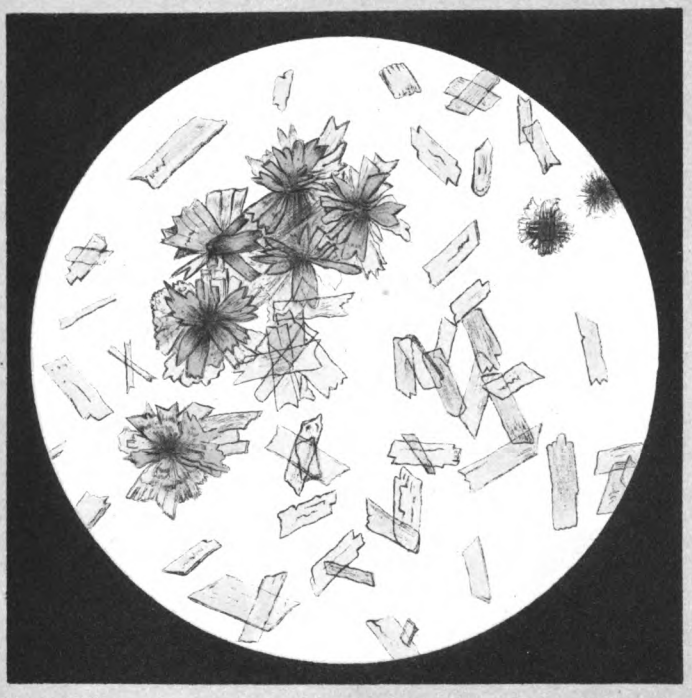

Lith. v. Dr C. Heitzmann. Lith. Anst. v. Appel & Comp. Wien.

Verlag v. W. Braumüller.

Digitized by Google

Digitized by Google

XVI. Tafel.

Digitized by Google

I. Bild. Künstliches Leucin und Tyrosin $C_6 H_{13} NO_2$ und $C_9 H_{11} NO_3 = C_{12} H_{13} NO_4$ und $C_{18} H_{11} NO_6$ bei der Behandlung von Fibrin mit Pankreassaft zur Darstellung von Peptonen nach Kühne's Methode als Nebenproduct gewonnen. Das Leucin stellt verschieden grosse Scheiben bisweilen mit feinster radiärer Zeichnung vor. Das Tyrosin bildet zum Theil schlanke Garben, zum Theil Rosetten.

II. Bild. Cystin $C_3 H_7 NSO_2 = C_6 H_7 NS_2 O_4$. Das Sägepulver eines Cystinsteines wurde mit Ammoniak ausgezogen und von der ammoniakalischen Lösung ein Tropfen auf einem Objectglase verdunsten gelassen. — Sechsseitige Tafeln, welche zuweilen zu einer grösseren sechsseitigen Rosette zusammengestellt sind.

Digitized by Google

1.

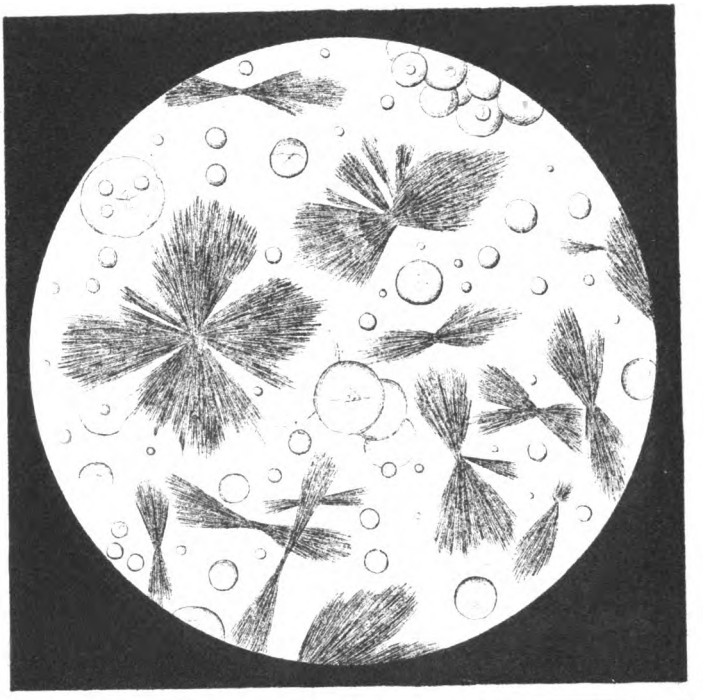

2.

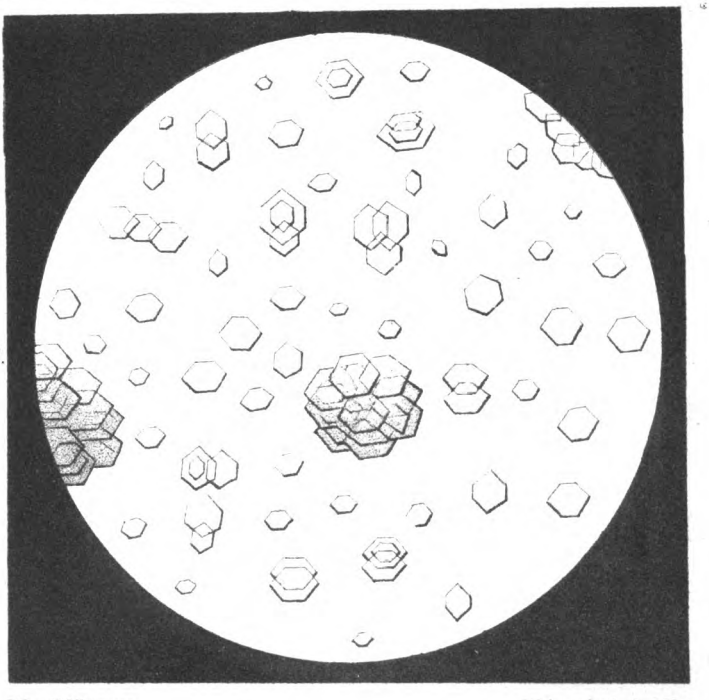

Lith. v. Dr. C. Heitzmann.

Lith. Anst. v. Appel & Comp. Wien.

Verlag v. W. Braumüller.

Digitized by Google

Digitized by Google

XVIII. Tafel.

Digitized by Google

I. Bild. Haemin oder salzsaures Haematin C_{34} H_{34} N_4 FeO_5. HCl. = C_{96} H_{51} N_6 Fe_3 O_{18}. HCl. Auch Teichmann'sche Haeminkrystalle genannt. Aus einem Tropfen Blut durch Zusatz von Eisessig und einem Salzkörnchen auf einem Objectträger auskrystallisirt. Flohbraune schiefe rhombische Plättchen.

II. Bild. Bilirubin C_{16} H_{18} N_2 O_3 = C_{32} H_{18} N_2 O_6 identisch mit den sogenannten Haematoidin-Krystallen alter Blutextravasate. Dargestellt aus menschlichen Gallensteinen nach Städeler's Methode (Hoppe-Seyler Analyse p. 178). Rhombische Tafeln. Die feinen gelben Punkte stellen aus der Chloroformlösung rasch ausgeschiedenes Bilirubin vor.

Digitized by Google

1.

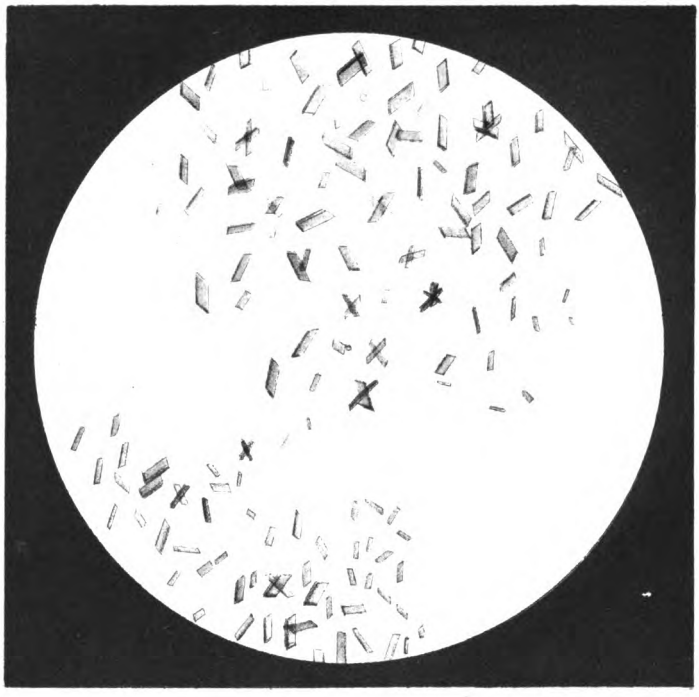

2.

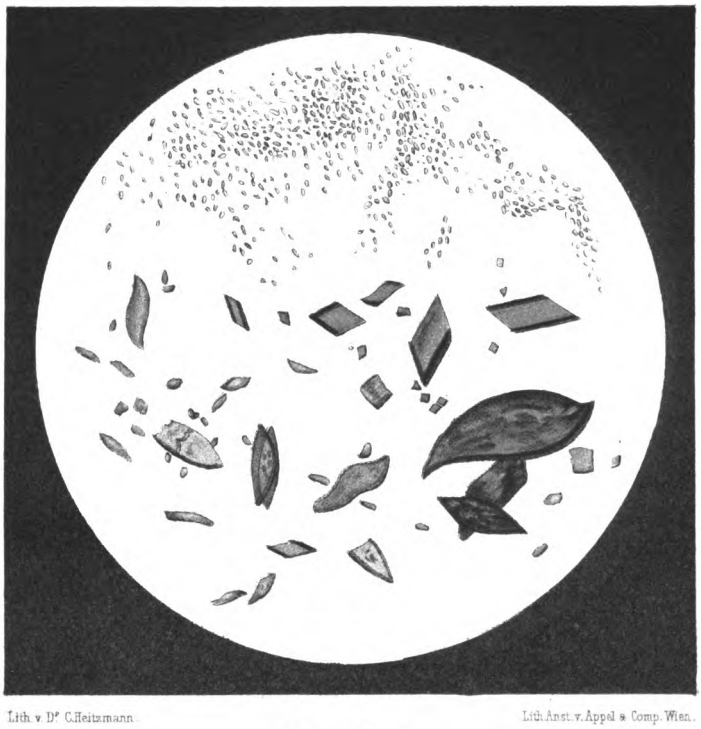

Lith. v. Dr. C. Heitzmann. Lith. Anst. v. Appel & Comp. Wien.

Verlag v. W. Braumüller.

Digitized by Google

Digitized by Google

XIX. Tafel.

Digitized by Google

I. Bild. Oxalsaurer Kalk = C_2 Ca O_4 + H_2 O = C_4 Ca_2 O_8 + 2 HO. Natives Sediment eines sauren Harnes, theils aus tetragonalen Oktaedern (Briefcouvertform), theils aus ovalen Formen mit biscuitförmiger Zeichnung bestehend.

II. Bild. Kohlensaurer Kalk = C Ca O_3 = CO_2 Ca O. Natives ziemlich seltenes Sediment aus alkalischem Harn in Kugeln, die zu Drusen oder sogenannten Dumbbells vereinigt sind, das gut ausgewaschene Sediment braust bei Zusatz eines Tropfens einer Mineralsäure.

Digitized by Google

1.

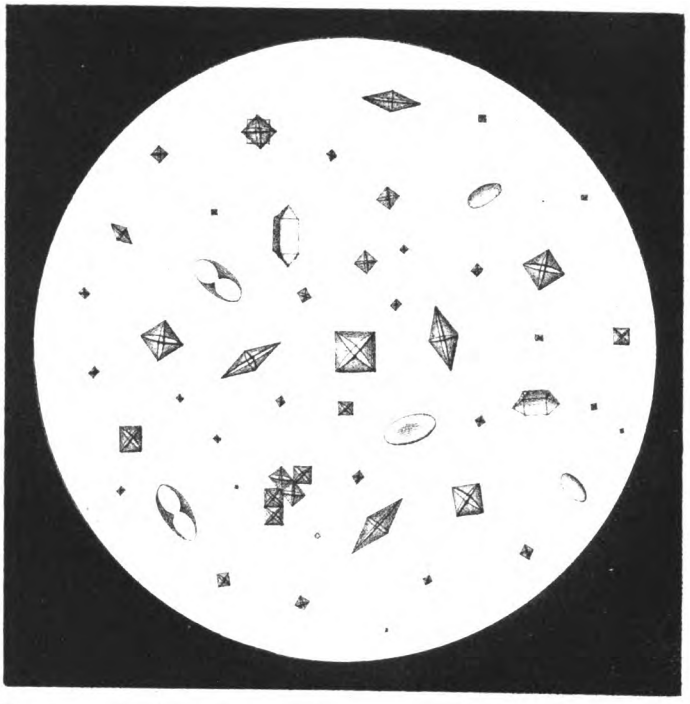

2.

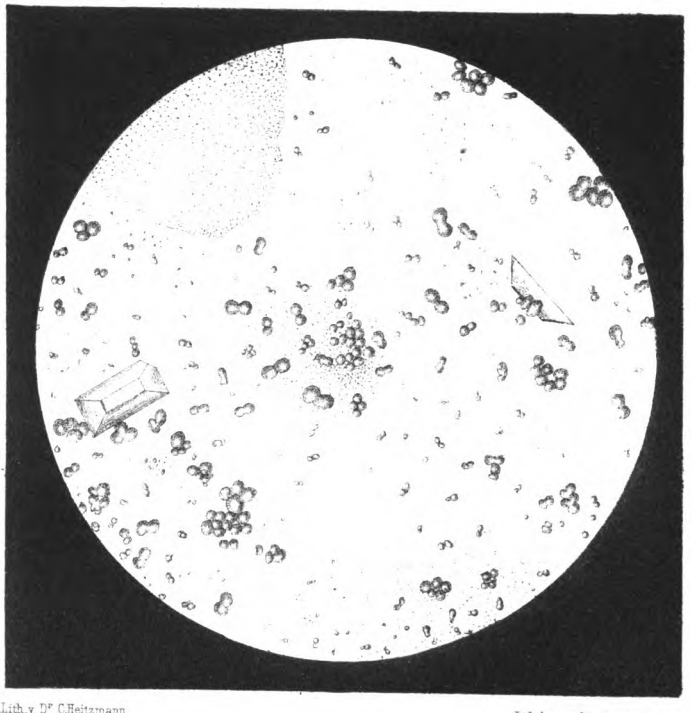

Lith. v. Dr. C. Heitzmann.

Lith. Anst. v. Appel & Comp. Wien.

Verlag v. W. Braumüller.

Digitized by Google

Digitized by Google

XX. Tafel.

Digitized by Google

I. Bild. Tripelphosphat. Die gewöhnlichsten Formen aus dem Sedimente alkalischer Harne. Schöne grosse Krystalle, Combinationen eines vertikalen Prisma's mit makro- und brachydiagonalen Flächenpaaren und horizontalen Prismen. (Sargdeckelformen). Die amorphe Masse ist dreibasischer phosphorsaurer Kalk.

II. Bild. Tripelphosphat. Seltene Form eines Sedimentes. An den Krystallen erkennt man die Grundtypen, aus denen sich durch vollständige Auskrystallisirung die Sargdeckelform bildet. Die drusigen Massen sind harnsaures Ammoniak.

Digitized by Google

1.

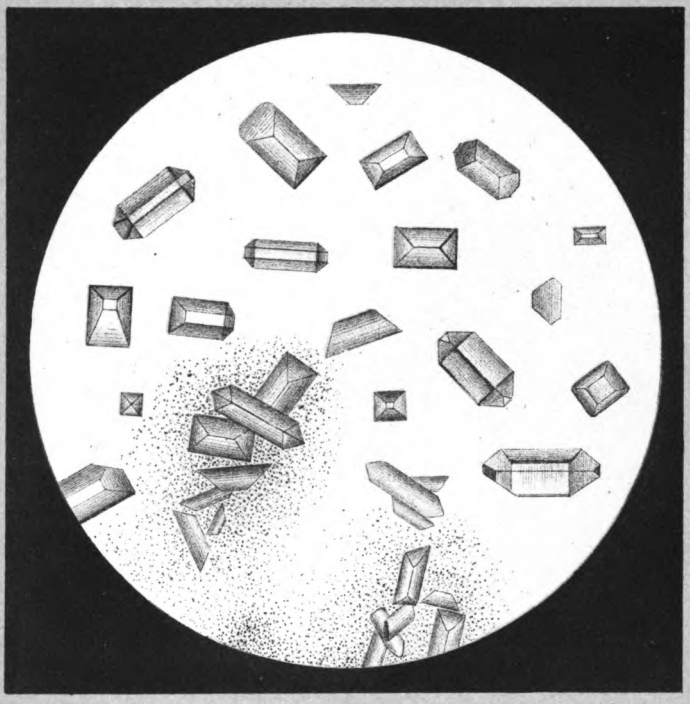

2.

Lith. v. Dr C. Heitzmann. Lith. Anst. v. Appel & Comp. Wien.

Verlag v. W. Braumüller.

Digitized by Google

Digitized by Google

XXII. Tafel.

Digitized by Google

I. Bild. Sediment eines normalen Harnes. Es zeigt nur einzelne Schleimkörperchen (junge Zellen) und einzelne Pflasterepithelzellen (meist aus der Blase).

II. Bild. Sediment eines Fieberharnes (Sedimentum lateritium). Es besteht entweder ausschliesslich aus harnsauren Alkalien oder, wie im vorliegenden Falle, auch gleichzeitig aus beigemengten Krystallen von Harnsäure.

Digitized by Google

1.

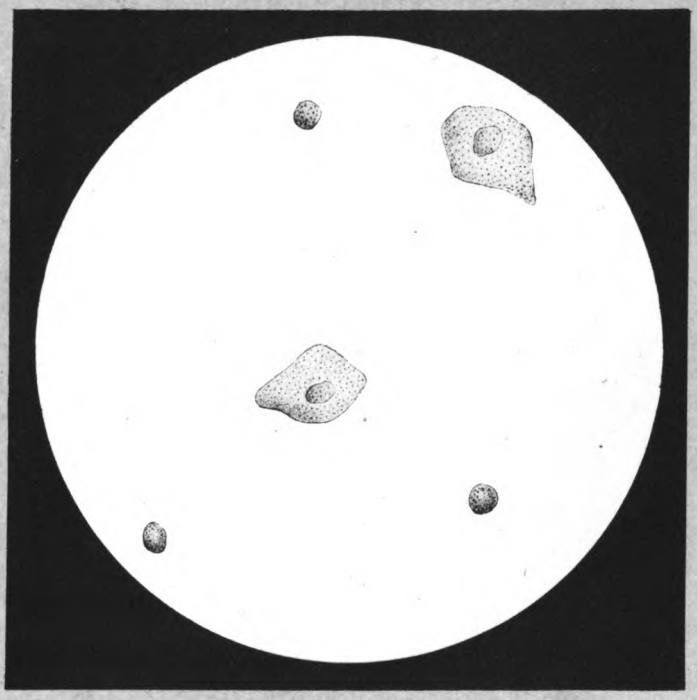

2.

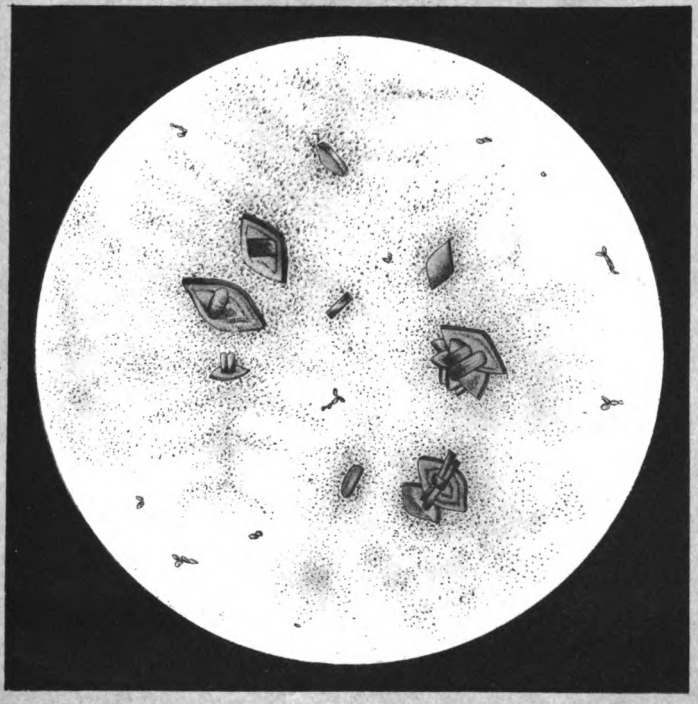

Lith. v. Dr C. Heitzmann. Lith. Anst. v. Appel & Comp. Wien.

Verlag v. W. Braumüller.

Digitized by Google

Digitized by Google

XXIII. Tafel.

Digitized by Google

I. Bild. Sediment eines Harnes in saurer Gährung. — Es besteht aus braungefärbten Krystallen von Harnsäure, aus schönentwickelten Krystallen von oxalsaurem Kalk und vereinzelten, sowie in Ketten zusammenhängenden Gährungspilzen (Saccharomyces urinae).

II. Bild. Sediment eines Harnes in alkalischer Gährung. Es besteht aus wasserhellen, deutlich ausgebildeten zum Theile sargdeckelförmigen Krystallen von Tripelphosphat, aus glatten oder mit Fortsätzen versehenen braunen Doppelkugeln von harnsaurem Ammon und aus amorpher Masse von dreibasischem phosphorsauren Kalk, gemengt mit Bakterien (Vibrionen).

Digitized by Google

1.

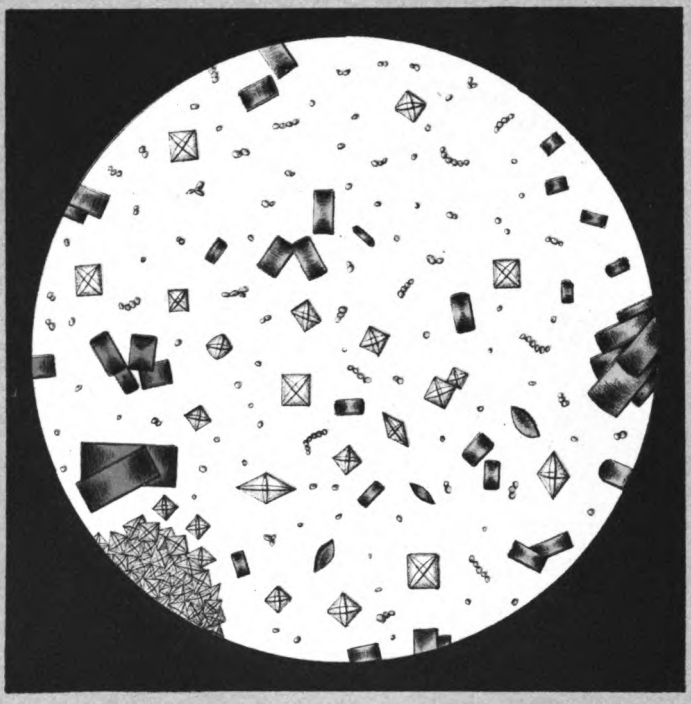

2.

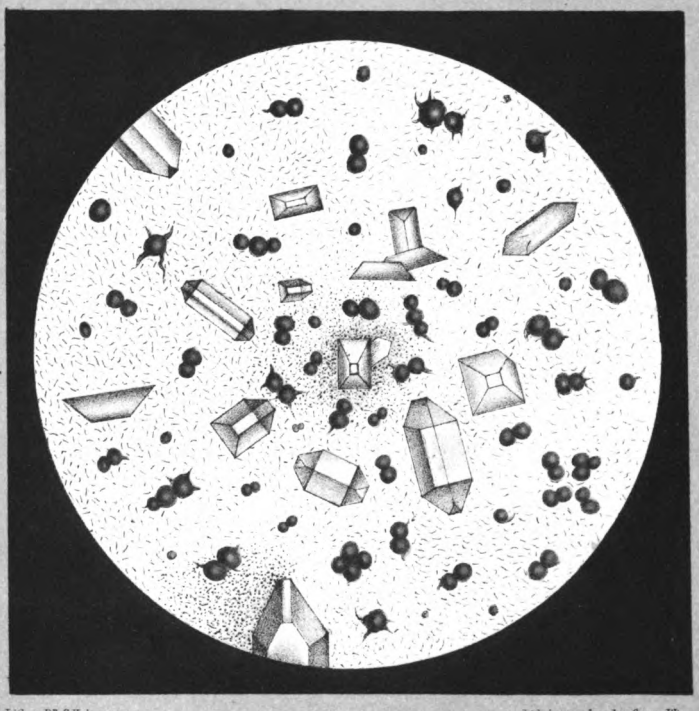

Lith. v. Dr C. Heitzmann. Lith. Anst. v. Appel & Comp. Wien.

Verlag v. W. Braumüller.

Digitized by Google

Digitized by Google

XXIV. Tafel.

Digitized by Google

I. Bild. Rückstand von eingedampftem normalen Harn. Derselbe durch Eindampfen im Wasserbade gewonnen, zeigt grosse glänzende, rhombische Tafeln der Doppelverbindung Harnstoff-Chlornatrium, ferner Formen des tessularen Systems (meist Octaeder) aus Kochsalz bestehend, endlich eine braune, körnige, zum Theil zu Häufchen aggregirte Masse von Uraten.

II. Bild. Rückstand eines auf dem Wasserbade abgedampften Harnes von acuter gelber Leberatrophie. Er besteht aus braunen, öltropfenartigen Scheiben von Leucin aus garbenförmig angeordneten Nadeln von Tyrosin und aus Doppelkugeln von harnsaurem Ammon.

Digitized by Google

1.

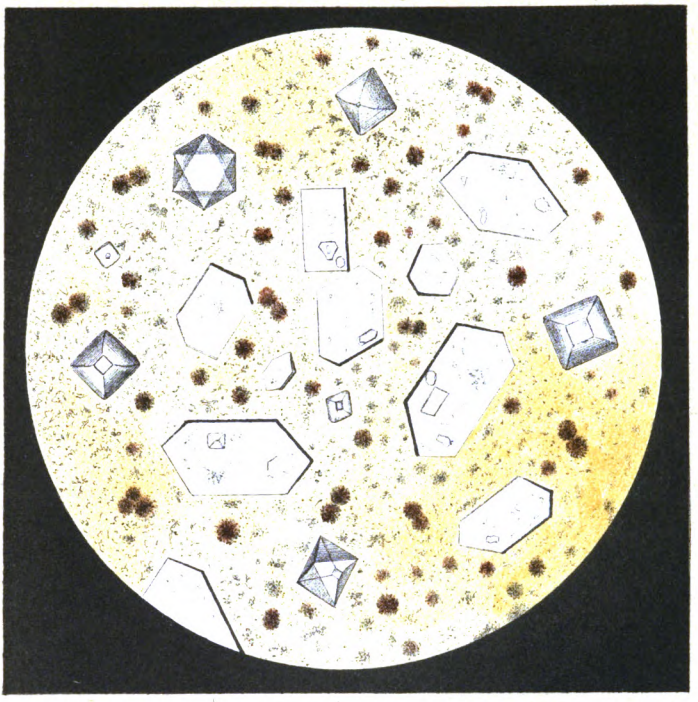

2.

Lith. v. Dr. C. Heitzmann. Lith. Anst. v. Appel & Comp. Wien.

Verlag v. W. Braumüller.

Digitized by Google

Digitized by Google

XXV. Tafel.

Digitized by Google

I. Bild. Bacterien, zu Nägelis Schyzomyceten gehörig. Theils einzelne unterm Mikroskop ruhende oder sich bewegende Punkte (Monaden Ehrenbergs, Mykrozyma Bechamps, Mikrococcus Halliers), theils Stäbchen mit etwas aufgetriebenen Enden (Stäbchenpilze), theils kürzere Ketten solcher (Vibrionen), theils längere (Leptrothrix). Im alkalischen und neutralen Harne.

II. Bild. Hefepilze (Saccharomyces). Die Grössen sind sehr variabel, im Zuckerharn meist grösser, als die hier gezeichneten. Daneben auswachsende Sporen von Penicillium glaucum, wovon die vier in der Mitte liegenden von aufsitzenden Uraten braun und pelzig erscheinen.

Digitized by Google

1.

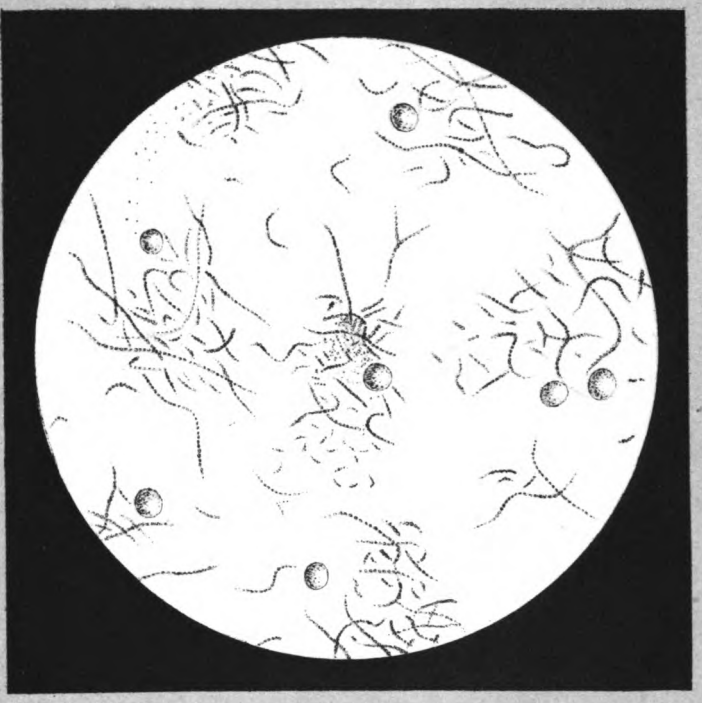

2.

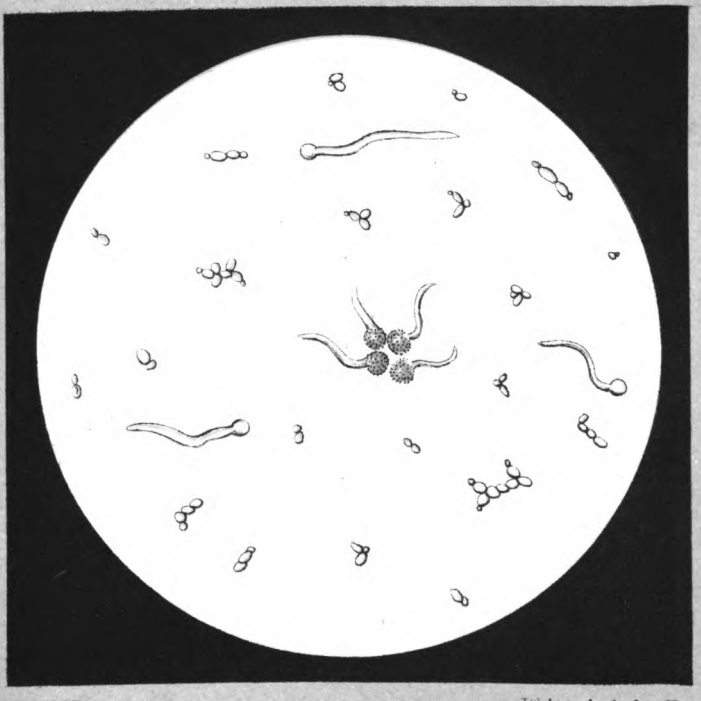

Lith. v. Dr C. Heitzmann. Lith. Anst. v. Appel & Comp. Wien.

Verlag v. W. Braumüller.

Digitized by Google

Digitized by Google

XXVI. Tafel.

Digitized by Google

I. Bild. Mycelium von Penicillium, ein verworrenes Geflechte bildend. Aus diabetischem Harne.

II. Bild. Sarcine des Harnes. Sie unterscheidet sich von der im Intestinaltrakte vorkommenden Sarcina ventriculi nur durch ihre Kleinheit. Daneben sieht man gekernte platte Zellen (Epithel der Blase), spitze Krystalle (neutraler phosphorsaurer Kalk) und einzelne Krystalle von Tripelphosphat.

Digitized by Google

1.

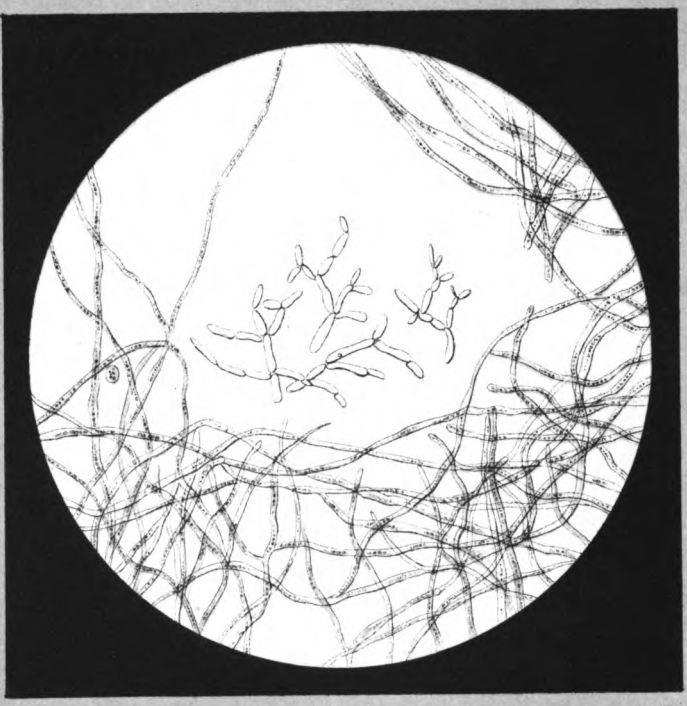

2.

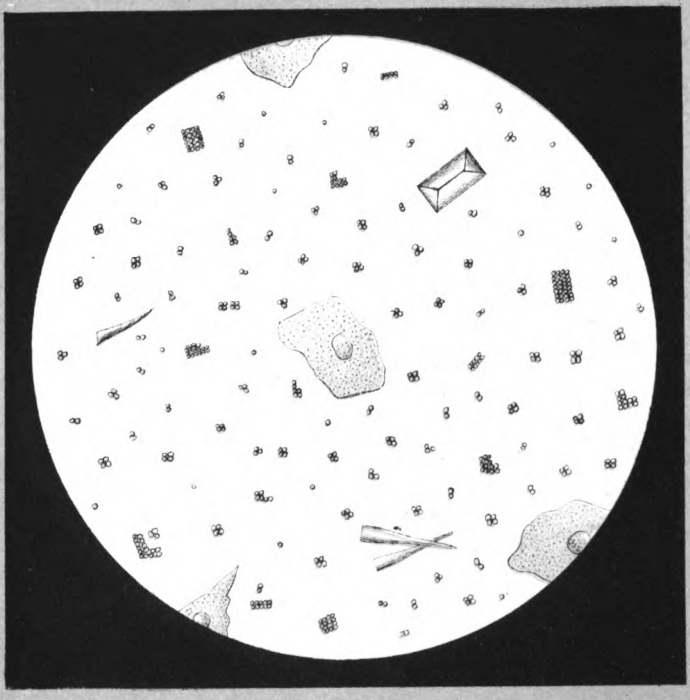

Lith. v. Dr. C. Heitzmann. Lith. Anst. v. Appel & Comp. Wien.

Verlag v. W. Braumüller.

Digitized by Google

Digitized by Google

XXVII. Tafel.

Digitized by Google

I. Bild. Blutkörperchen. Theilweise intact; die dellenförmige Vertiefung als centralen Schatten aufweisend; theils gequollen, als Kugeln ohne centralen Schatten; theils in Auflösung begriffen, als schattenartige Flecken; theils stechapfelförmig geschrumpft. Alle Formen können neben einander vorkommen, ausgenommen die gequollenen, welche in stark diluirtem Harne sich finden.

II. Bild. Eiterkörperchen. Theils in Kugelform, theils mit zackigen Ausbuchtungen. Im untern Drittel des Sehfeldes befinden sich solche, die durch einen Tropfen Essigsäure aufgehellt sind, wodurch mehrere Kerne deutlich zum Vorschein kommen.

Digitized by Google

1.

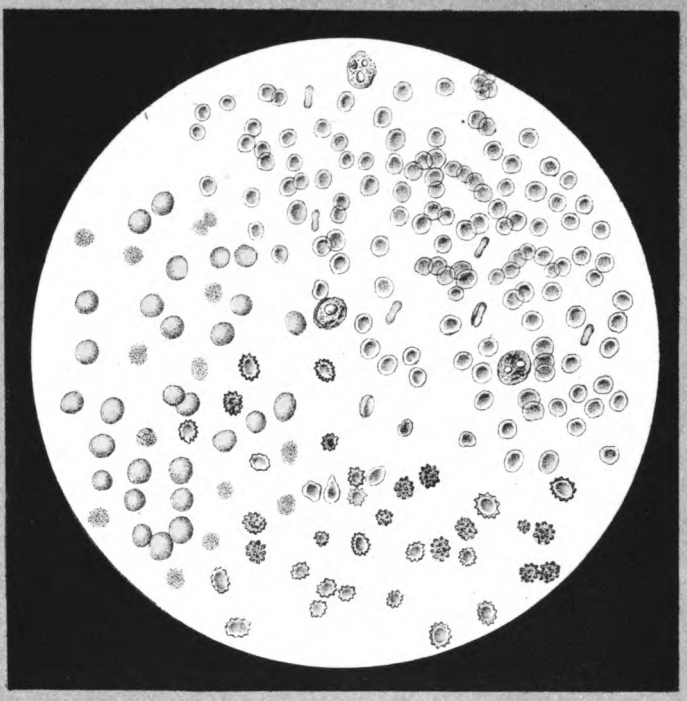

2.

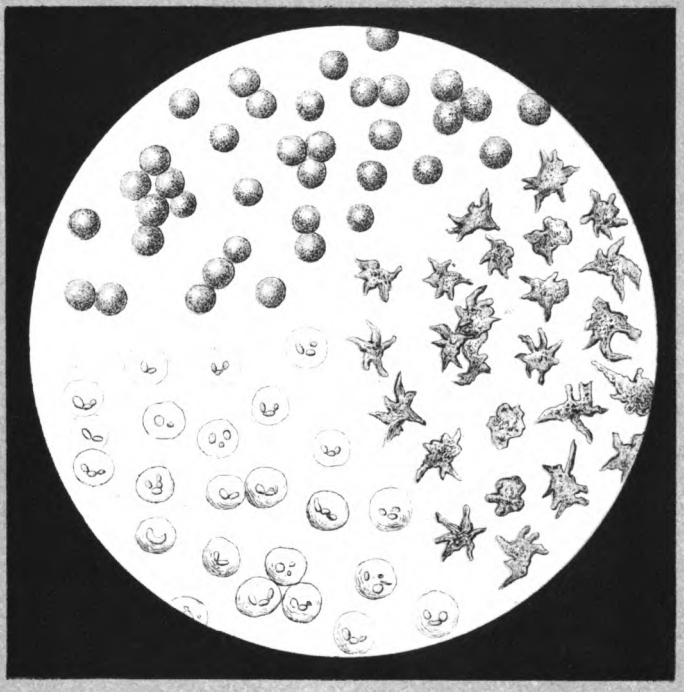

Lith. v. Dr C. Heitzmann. Lith. Anst. v. Appel & Comp. Wien.

Verlag v. W. Braumüller.

Digitized by Google

Digitized by Google

XXVIII. Tafel.

Digitized by Google

I. Bild. Cylinder von harnsaurem Ammoniak, aus dem Harne eines an Harnsäureinfarct leidenden Säuglings. Die Cylinder bestehen aus zusammengebackenen Kugeln von harnsaurem Ammon. An einem kurzen und schmalen Cylinder haften noch beiderseits die Epithelialzellen, welche das Harnkanälchen auskleideten. An dem Cylinder, welcher im Bild zu unterst liegt, sieht man von einem dickeren kürzeren Stücke ein dünnes schief abzweigen, entsprechend einem Harnkanälchen höherer Ordnung.

II. Bild. Hyaline Cylinder (Gallertschläuche, Glashäute). Das Bild zeigt solche von verschiedener Dicke; theils gerade, theils gewundene. Sie sind bald glashell, in anderen Fällen zeigen sie stellenweise ganz feine Granulation (als Uebergang zu den granulirten Cylindern). Einzelne von ihnen unterscheiden sich vom umgebenden Medium so wenig, dass sie unterm Mikroskope leicht übersehen werden. Einzelnen haftet ein Zellenkern an.

Digitized by Google

1.

2.

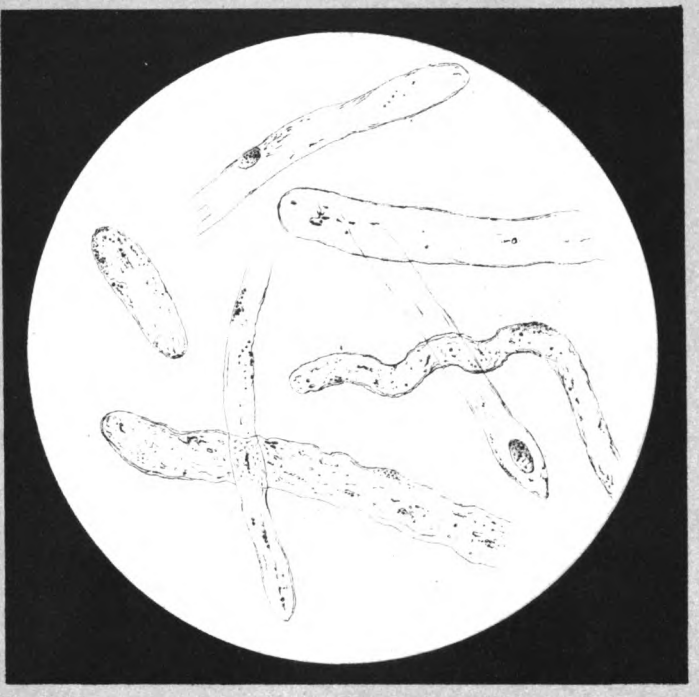

Lith. v. Dr C. Heitzmann. Lith. Anst. v. Appel & Comp. Wien.

Verlag v. W. Braumüller.

Digitized by Google

Digitized by Google

XXIX. Tafel.

Digitized by Google

I. Bild. Epithelschläuche und Epithelcylinder. Die ersteren sind die im Ganzen ausgestreiften, noch zusammenhängenden auskleidenden Zellen der Harnkanälchen, und haben ein centrales Lumen; bei den Cylindern ist das Lumen durch ein hyalines Gerinnsel ausgefüllt, dem die Zellen aufsitzen. Beide Formen kommen am häufigsten bei desquamativer Nephritis vor.

II. Bild. Grosse derbe Cylinder aus zu Grunde gegangenem Epithel und starrem Exsudat conglomerirt. Zuweilen bestehen sie aus einer dunkel tingirten Masse, welche reichliche Blutkörperchen eingeschlossen enthält (Blutcylinder). Diese Formen stammen aus den grösseren Sammelröhren der Niere, sie kommen am öftesten bei der acuten parenchymatösen (croupösen) Nephritis vor.

Digitized by Google

1.

2.

Lith. v. Dr C. Heitzmann. Lith. Anst. v. Appel & Comp. Wien.

Verlag v. W. Braumüller.

Digitized by Google

Digitized by Google

XXX. Tafel.

Digitized by Google

I. Bild. Feingranulirte Cylinder. Sie sind verschieden lange Bruchstücke, theils gerade, theils gekrümmt; einzelne von ungleicher Dicke (stellenweise eingeschnürt). Einzelne tragen noch ganz deutliche Zellenkerne. Die Granulation rührt meist von Protoplasmatrübung, zum Theil aber auch von eingebetteten Fetttröpfchen her. Im ersteren Falle hellen sie sich bei Zusatz von Essigsäure auf, im anderen aber nicht. Diese letztere Form kommt dem weit vorgeschrittenen chronischen Morbus Brightii zu; die erstere kommt bei verschiedenen Nierenkrankheiten vor.

II. Bild. Wachscylinder (Waxy casts) sind sehr stark lichtbrechend, zeigen einen buchtigen Contour und erscheinen aus Amyloidschollen zusammengesetzt. Ihre Contouren sind glänzend, sie selbst glashell. An einzelnen bemerkt man einen scharfen Bruch, wie auseinanderweichende Gallerte. Seltene Form bei amyloider Nierenentartung.

Digitized by Google

1.

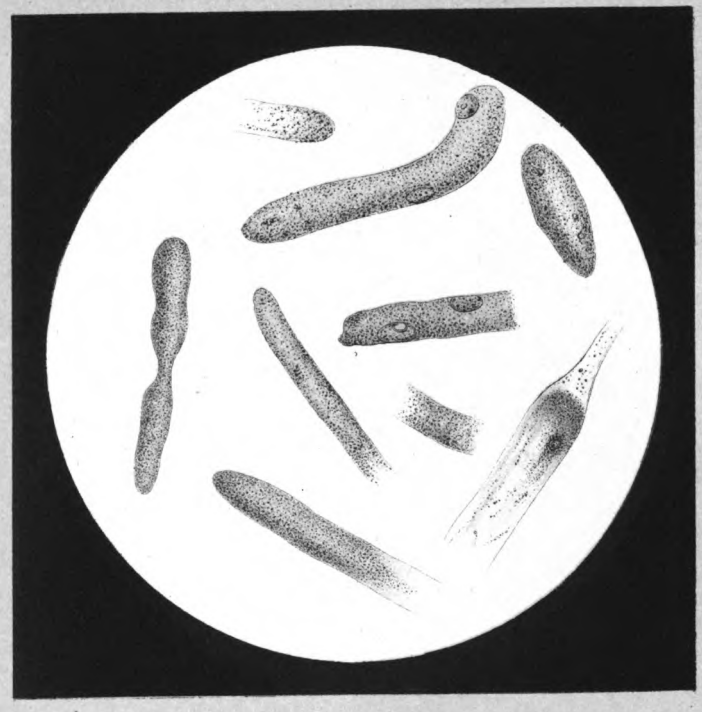

2.

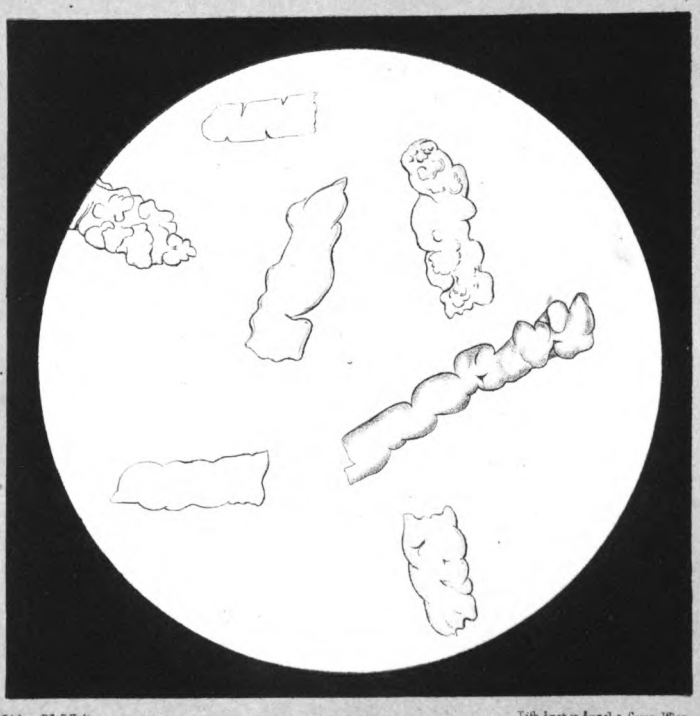

Lith. v. Dr C. Heitzmann.

Lith. Anst. v. Appel & Comp. Wien.

Verlag v. W. Braumüller.

Digitized by Google

Digitized by Google

XXXI. Tafel.

Digitized by Google

I. Bild. Epithel der Sammelröhren. Die cylindrischen Zellen stammen aus den einer Papille näheren Partien, die kubischen aus den höhern (bis zu den Markstrahlen hinauf). Bei längerem Stehen im Harne werden sie durch Quellung kugelrund.

II. Bild. Epithel der Nierenbecken und Harnleiter. Sie sind zumeist mit längeren theils unipolaren, theils bipolaren Fortsätzen versehen (Spindelzellen).

Digitized by Google

1.

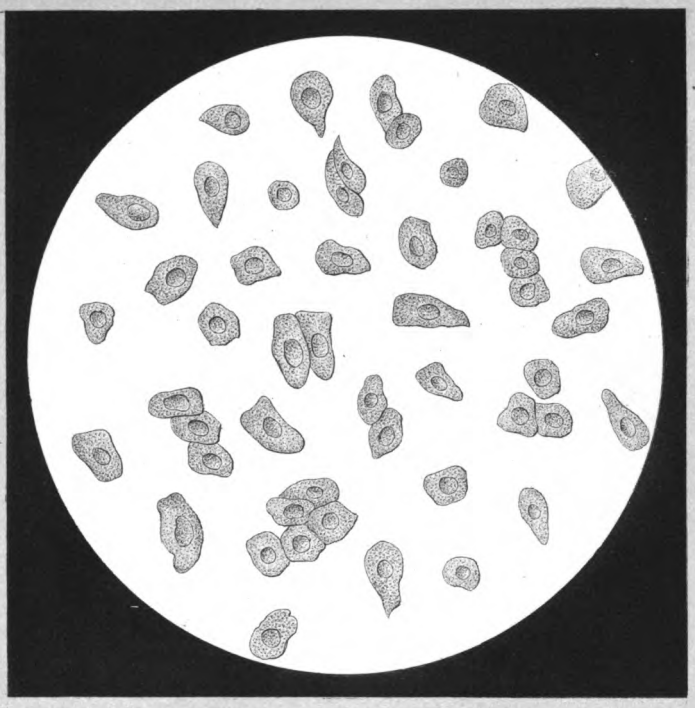

2.

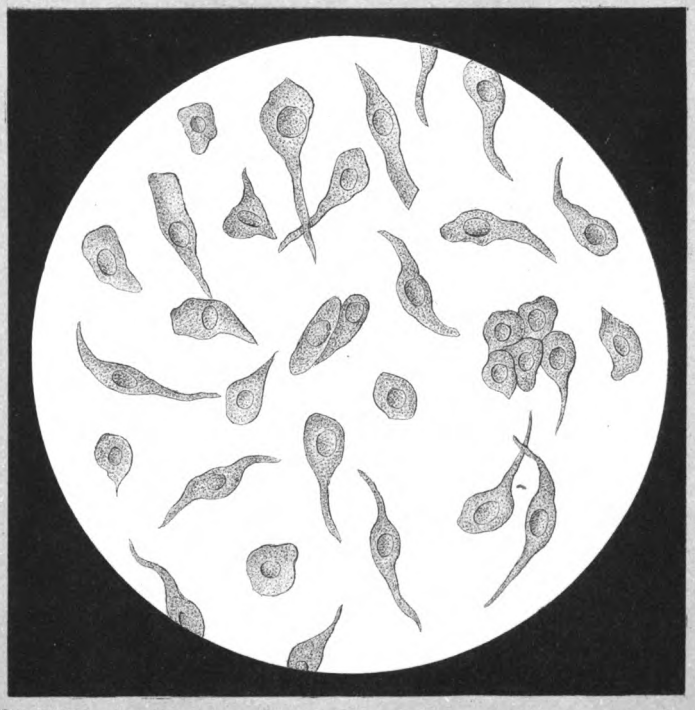

Lith. v. Dr C. Heitzmann. Lith. Anst. v. Appel & Comp. Wien.

Verlag v. W. Braumüller.

Digitized by Google

Digitized by Google

XXXII. Tafel.

Digitized by Google

I. Bild. Epithel der Harnblase. Die polygonalen Platten gehören den obersten Schichten an; die spindelförmigen den mittleren Lagen; die rundlichen oder ovalen Zellen endlich den tiefen.

II. Bild. *a)* Epithel der Prostata (in der oberen Hälfte des Bildes) und *b)* der Cowper'schen Drüsen (in der untern). Beide sind Cylinderzellen mit kurzen Fortsätzen an der einen Seite; von einander sind sie kaum unterscheidbar. Die aus den Cowper'schen Drüsen erscheinen bei gleicher Vergrösserung etwas kleiner.

Digitized by Google

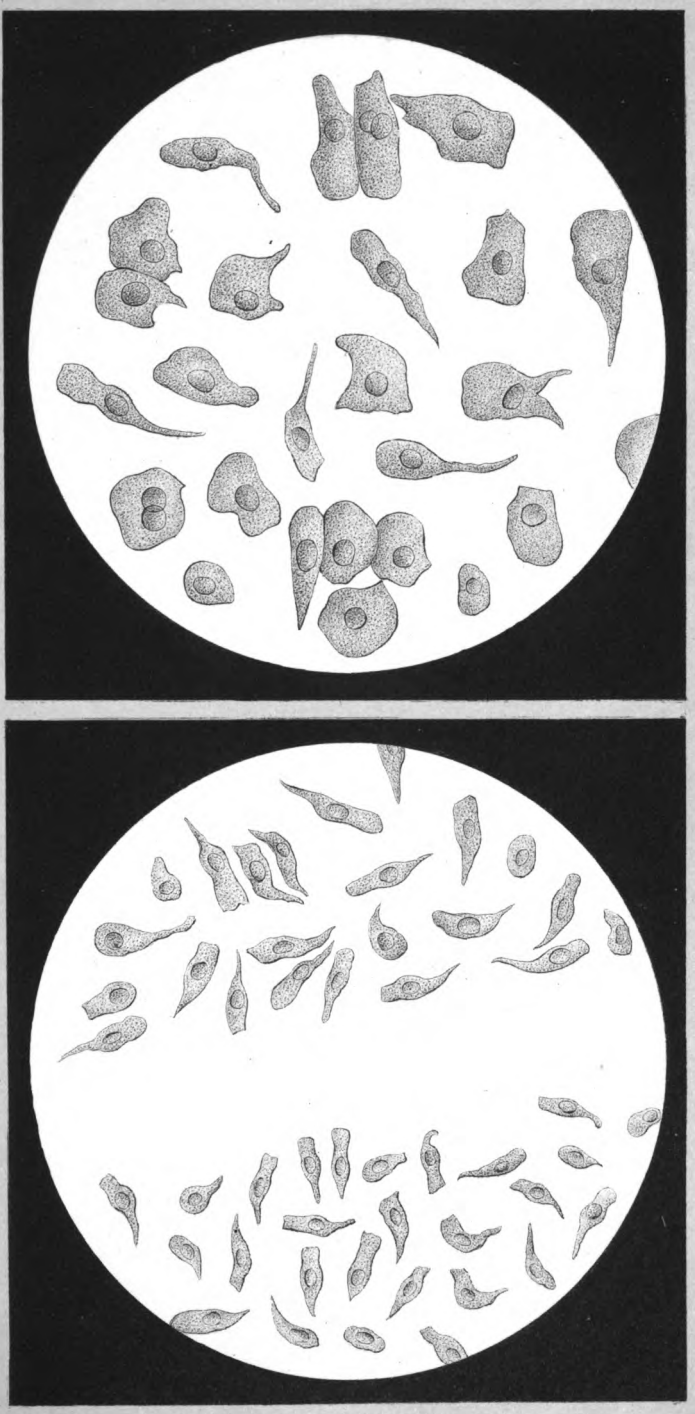

Lith. v. Dr C. Heitzmann.
Lith. Anst. v. Appel & Comp. Wien.
Verlag v. W. Braumüller.

Digitized by Google

Digitized by Google

XXXIII. Tafel.

Digitized by Google

I. Bild. *a)* Epithel der männlichen Harnröhre (in der oberen Hälfte des Bildes) und *b)* der Littre'schen Drüsen (in der untern). Beide sind Cylinderepithelien und den auf dem II. Bilde der XXXII. Tafel ähnlich.

II. Bild. *a)* Epithel der weiblichen Harnröhre (in der oberen Hälfte) und *b)* der Vagina (in der unteren Hälfte des Bildes). Die einzelnen Zellen sind Plattenepithelien und von einander nicht unterscheidbar. Die letzteren bilden nicht selten grössere, zusammenhängende Plaques, wodurch sie sich, sowie durch die etwas grössere Derbheit, von den Zellen der Blase unterscheiden.

Digitized by Google

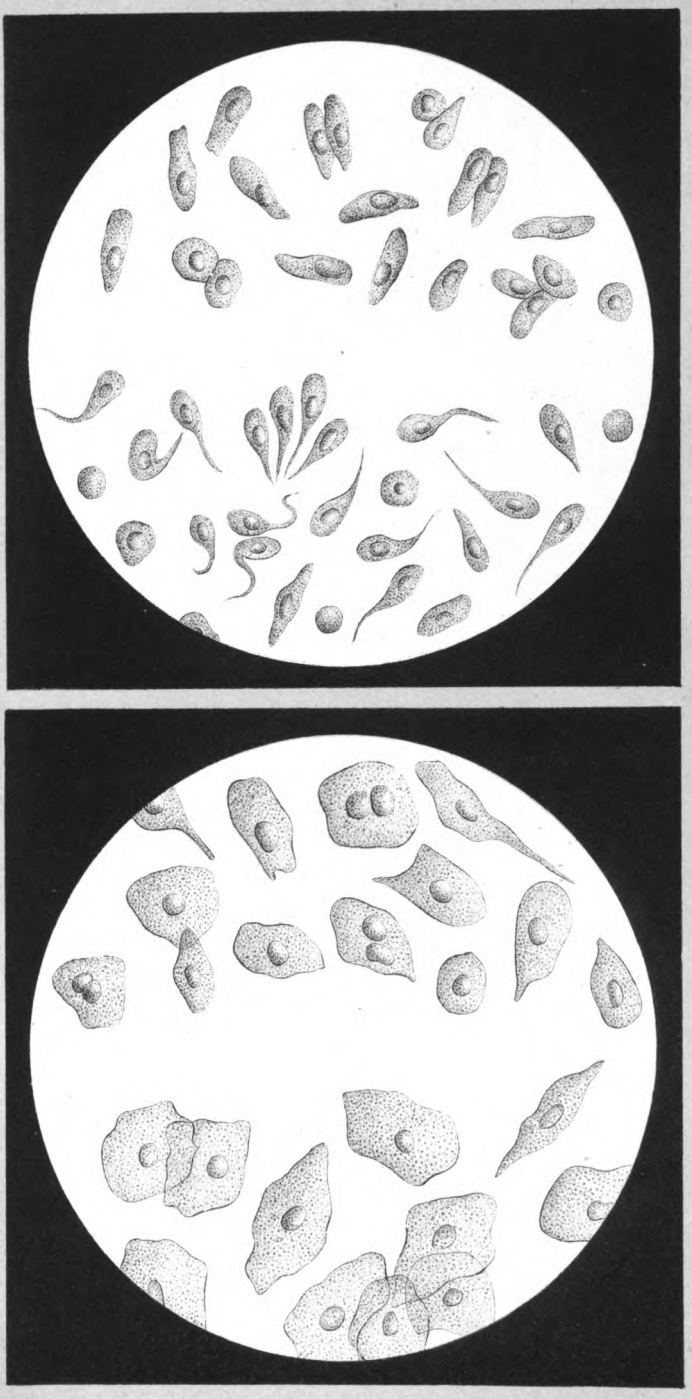

Lith. v. Dr. C. Heitzmann.
Lith. Anst. v. Appel & Comp. Wien.
Verlag v. W. Braumüller.

Digitized by Google

Digitized by Google

ZWEITER THEIL.

Digitized by Google

Digitized by Google

XXXIV. Tafel.

Digitized by Google

I. Bild. Sediment bei Stauungsniere. Man sieht (gewöhnlich) einzelne hyaline Cylinder, vereinzelte Blutkörperchen und einzelne Epithelien aus den Bellini'schen Röhrchen. Besonders bei lang andauernden Herz- und Lungenleiden. Bei geringeren Graden der Stauung findet man keine Cylinder, bei höchsten Graden viel Blutkörperchen.

II. Bild. Sediment bei Nierenblutung. Reichliche, verschieden grosse, rothe Blutkörperchen, spärlich weisse. Einzelne bereits corrodirt, andere zu Blutcylindern vereinigt; beigemischt sind Epithelzellen der Sammelröhren oder Nierenbecken, die von Blutfarbstoff öfter braun gefärbt sind.

Digitized by Google

1.

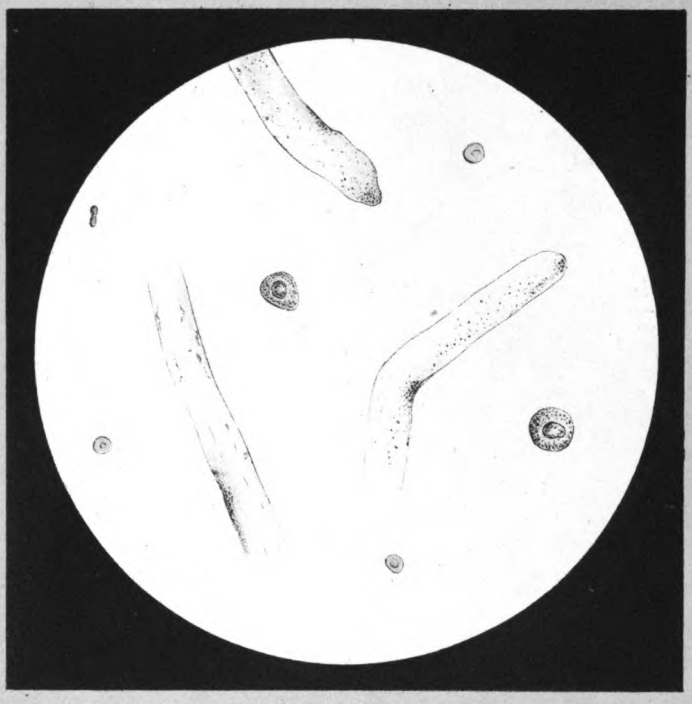

2.

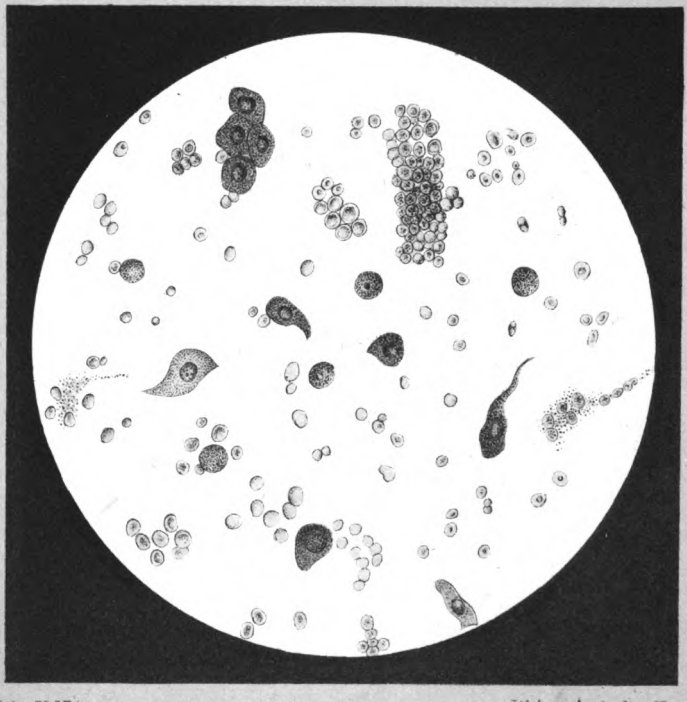

Lith. v. Dr C. Haitzmann. Lith. Anst. v. Appel & Comp. Wien

Verlag v. W. Braumüller.

Digitized by Google

Digitized by Google

XXXV. Tafel.

Digitized by Google

I. Bild. Sediment bei desquamativer Nephritis. (Katarrh der Harnröhrchen). Blutkörperchen in mässiger Menge, einzelne junge Zellen; einzelne und in Schläuchen zusammenhängende Epithelzellen; Epithelcylinder.

II. Bild. Sediment bei acuter diffuser Nephritis (acuter Morbus Brightii, acuter parenchymatöser Nephritis). Zahlreiche Blutkörperchen, junge Zellen, abgestossenes Epithel aus den Harnkanälchen, mehr oder weniger pigmentirte derbe, sowie vereinzelte hyaline und Epithelcylinder (im Bilde linkerseits und unten).

Digitized by Google

1.

2.

Lith. v. Dr. C. Heitzmann. Lith. Anst. v. Appel & Comp. Wien.

Verlag v. W. Braumüller.

Digitized by Google

Digitized by Google

XXXVI. Tafel.

Digitized by Google

I. Bild. Sediment bei chronischem Morbus Brightii im spätern Verlauf. Spärliche Blutkörperchen, Epithel und Cylinder mit deutlicher Fettgranulation der beiden letzteren.

II. Bild. Sediment bei amyloider Nierenentartung. Sehr spärliche, hyaline (bisweilen wachsige) Cylinder und zuweilen geblähte und amyloidentartete Epithelzellen der Harnkanälchen.

Digitized by Google

1.

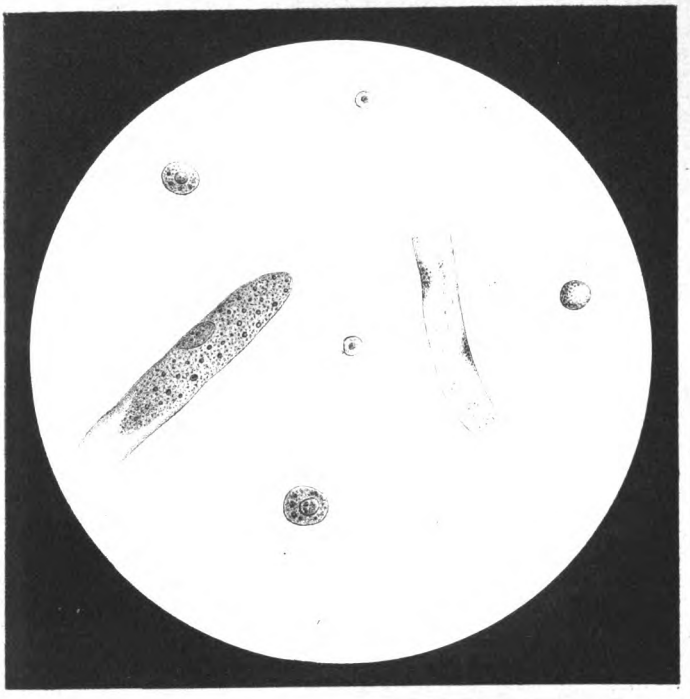

2.

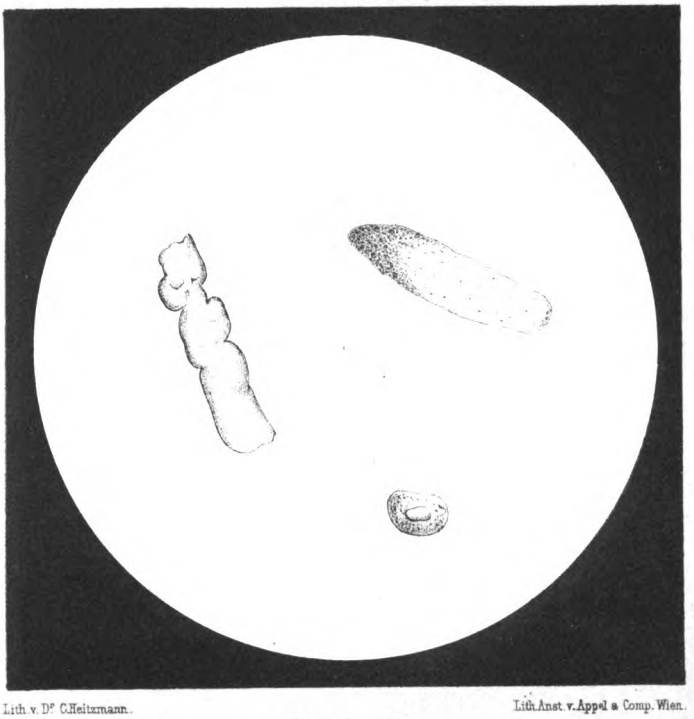

Lith. v. Dr C. Heitzmann.

Lith. Anst. v. Appel & Comp. Wien.

Verlag v. W. Braumüller.

Digitized by Google

Digitized by Google

XXXVII. Tafel.

Digitized by Google

I. Bild. Sediment bei acuter Pyelitis. Blutkörperchen, zahlreiche Eiterkörperchen, Epithelzellen aus dem Nierenbecken und den untern Enden der Sammelröhren.

II. Bild. Sediment bei chronischer Pyelitis. Spärliche Epithelzellen; zahlreiche, zum Theile sich zu Pfropfen vereinigende Eiterkörperchen. (Keine Blutkörperchen). Der Harn sauer.

Digitized by Google

1.

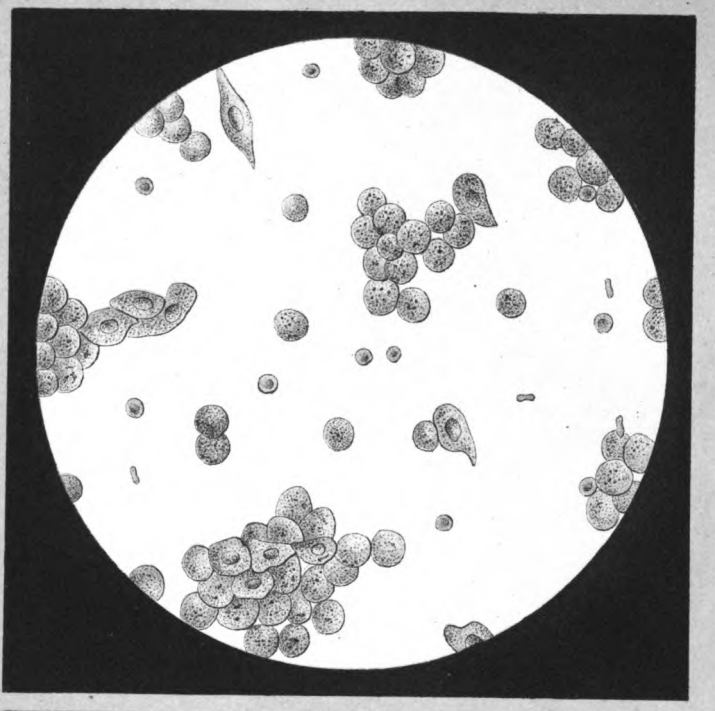

2.

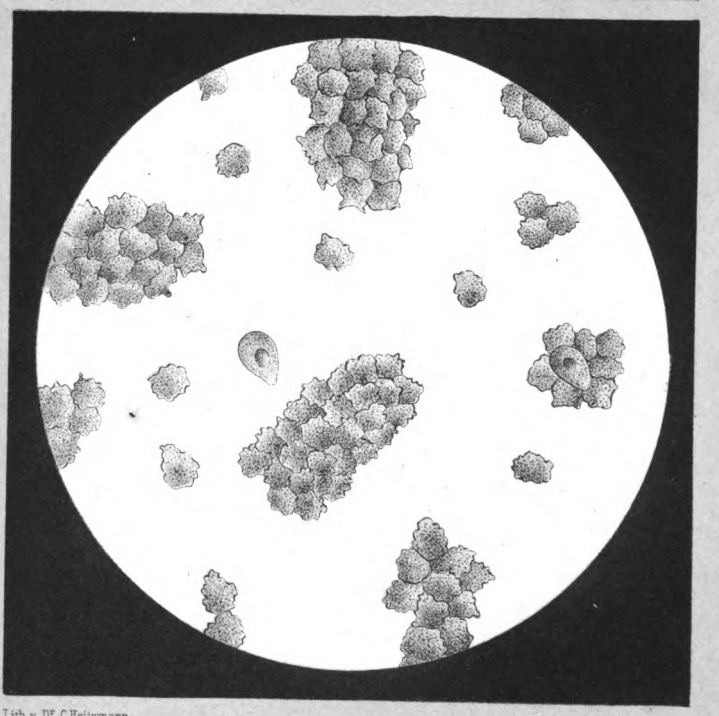

Lith. v. Dr C. Heitzmann.

Lith. Anst. v. Appel & Comp. Wien.

Verlag v. W. Braumüller.

Digitized by Google

Digitized by Google

XXXVIII. Tafel.

Digitized by Google

I. Bild. Sediment bei Pyelitis calculosa. Bestehend aus Harnsäure von spiessiger Form. Daneben Blutkörperchen, Epithel des Nierenbeckens und der Sammelröhren. Zahlreiche Eiterkörperchen.

II. Bild. Sediment bei einem andern Fall von Pyelitis calculosa. Die Harnsäure bildet unförmliche Drusen von Krystallen, welche sich unter verschiedenen Winkeln durchdringen. Neben dem gewöhnlichen Sedimente von Blut- und Eiterkörperchen und Epithelzellen, findet sich in diesem Falle noch oxalsaurer Kalk (Briefcouvertgestalten).

Digitized by Google

1.

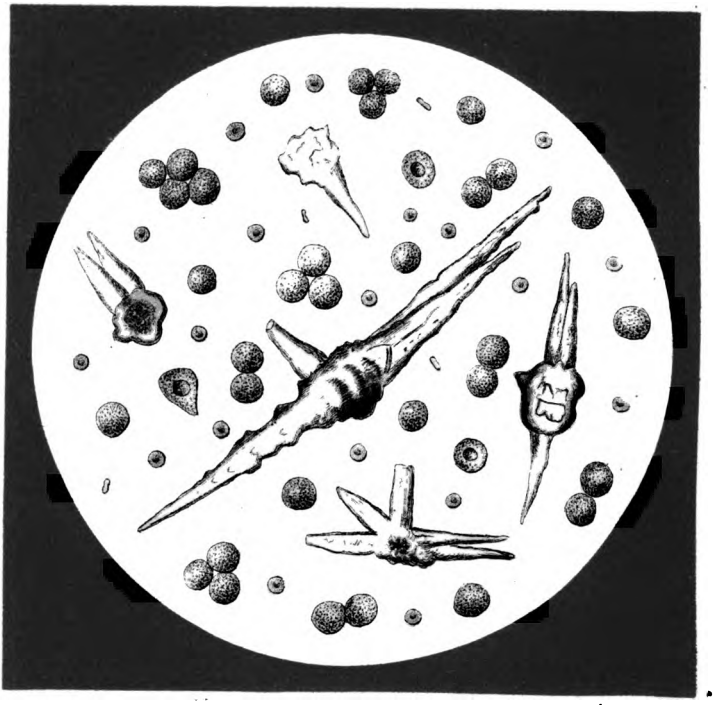

2.

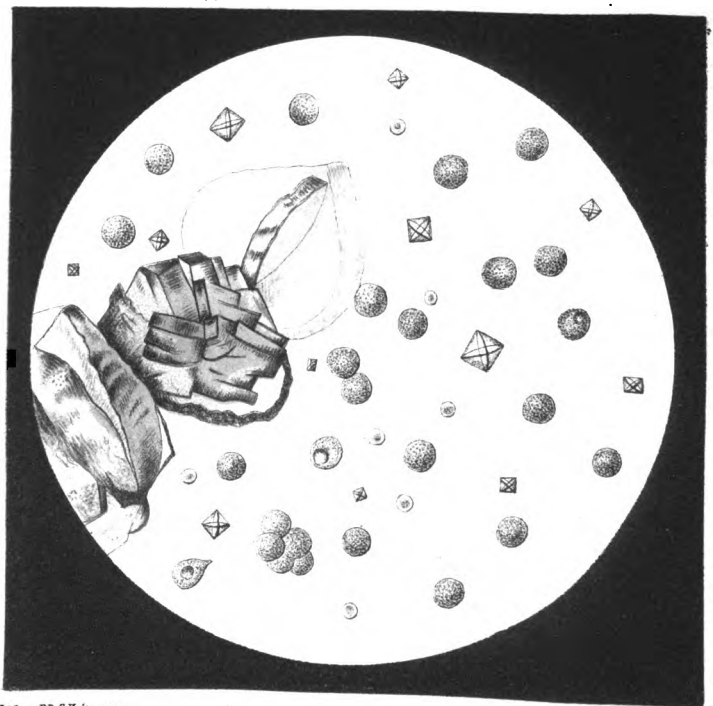

Lith. v. Dr. C. Heitzmann.

Verlag v. W. Braumüller.

Lith. Anst. v. Appel & Comp. Wien.

Digitized by Google

Digitized by Google

XXXIX. Tafel.

Digitized by Google

I. Bild. Sediment bei acutem Blasenkatarrh. Besteht aus Blut- und Eiterkörperchen, aus dunkelgefärbten, einfachen oder doppelten Kugeln (theils mit Fortsätzen versehen) von harnsaurem Ammon; aus schönen sargdeckelförmigen Tripelphosphat-Krystallen; aus flachen Epithelzellen der Blase und feiner amorpher Masse von Erdphosphaten.

II. Bild. Sediment bei chronischem Blasenkatarrh. Eiterzellen durch kohlensaures Ammoniak (dem Zerlegungs-Produkt des Harnstoffes) gequollen; einzelne gleichfalls gequollene Blasenepithelien; grosse Tripelphosphat-Krystalle; dunkelgefärbte Doppelkugeln von harnsaurem Ammon, und amorphe Erdphosphate. (Ammoniakalischer Harn. Keine Blutkörperchen.)

Digitized by Google

1.

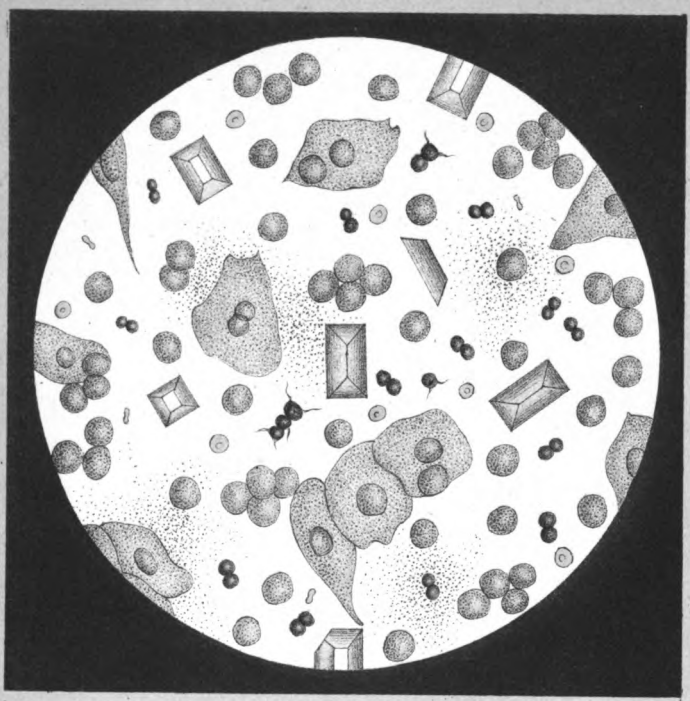

2.

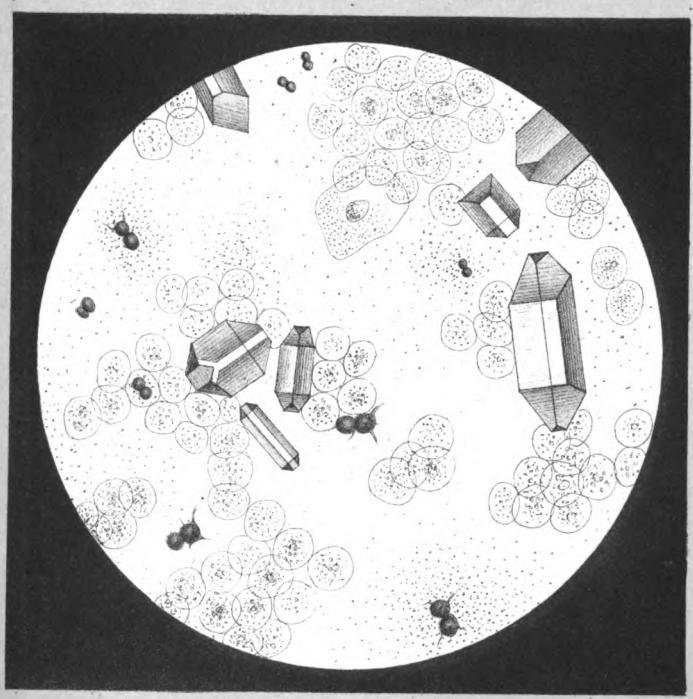

Lith v. Dr C.Reitzmann. Lith.Anst.v.Appel & Comp. Wien.

Verlag v. W. Braumüller.

Digitized by Google

Digitized by Google

XL. Tafel.

Digitized by Google

I. Bild. Sediment bei Blasenblutung. Sehr zahlreiche, rothe und einzelne weisse Blutkörperchen; Blasenepithel und Tripelphosphat.

II. Bild. Sediment bei medullarem Epithelial-Krebs der Blase. Blut- und Eiterkörperchen, Tripelphosphat; ausserdem zahlreiche, verschieden gestaltete Zellen mit riesigen Kernen und mehr oder weniger ausgebildeten Fortsätzen. (Seltenes Sediment.)

Digitized by Google

1.

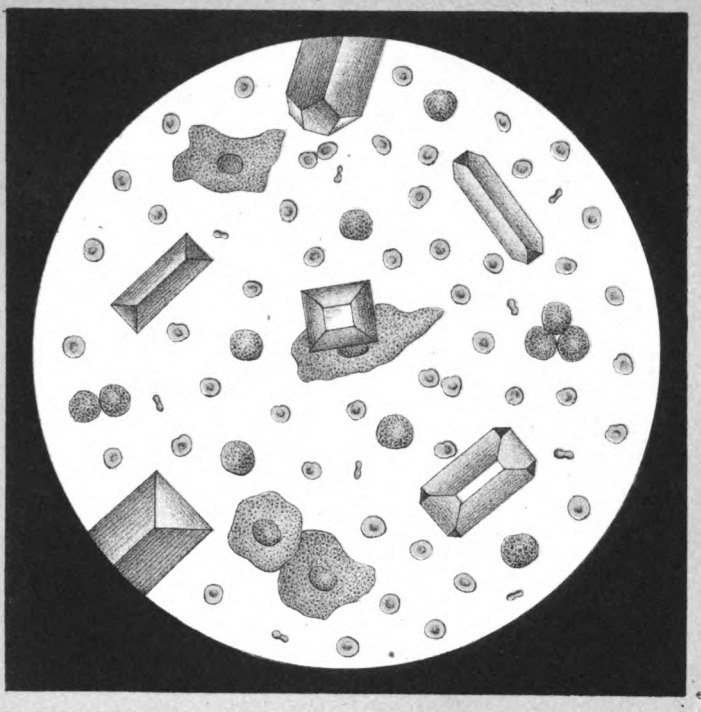

2.

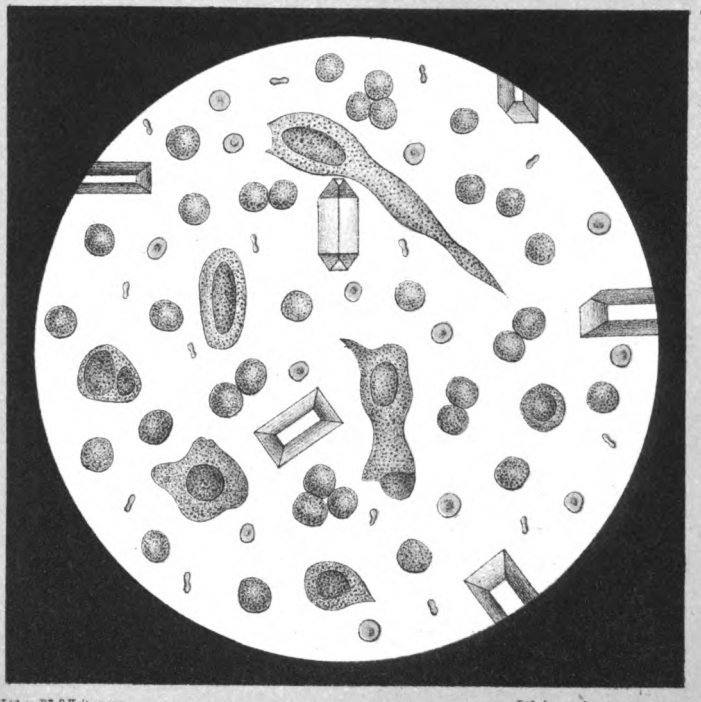

Lith. v. Dr C. Heitzmann. Lith. Anst. v. Appel & Comp. Wien.

Verlag v. W. Braumüller.

Digitized by Google

Digitized by Google

XLI. Tafel.

Digitized by Google

I. Bild. Sediment bei Spermatorrhöe. Einzelne Epithelzellen der Blase. Zahlreiche Spermatozoën neben einzelnen und zu Ketten zusammenhängenden Bacterien (Diese nicht charakteristisch.)

II. Bild. Ein Tripperfaden. Bestehend aus zahlreichen Eiterkörperchen und Epithelzellen der Harnröhre (Littre'schen Drüsen), durch Schleim zu länglichen, fadenförmigen Gebilden zusammengehalten.

Digitized by Google

1.

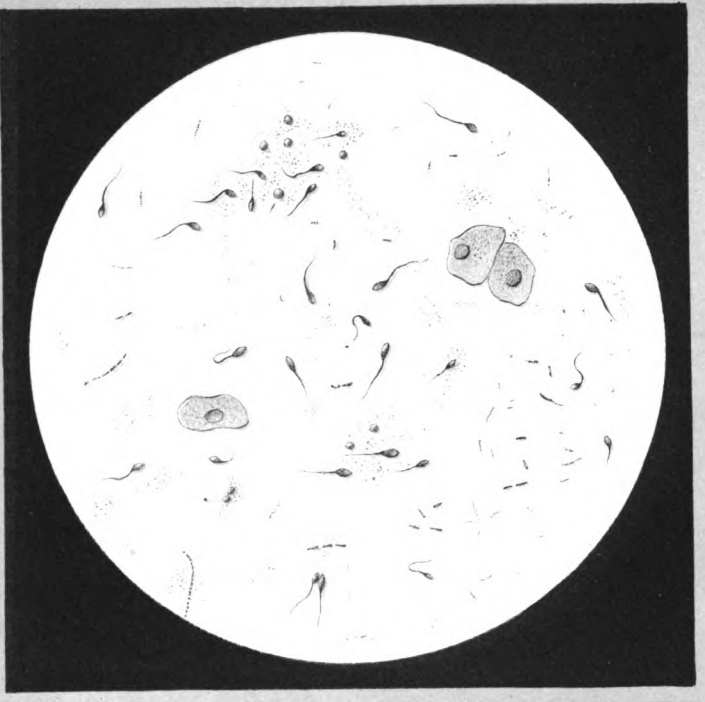

2.

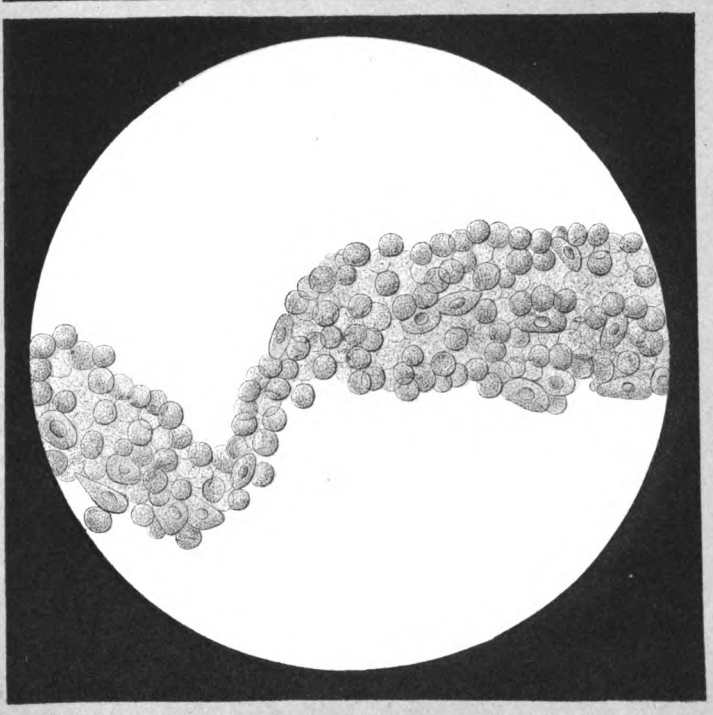

Lith. v. Dr C. Heitzmann.

Lith. Anst. v. Appel & Comp. Wien.

Verlag v. W. Braumüller.

Digitized by Google

Digitized by Google

XLII. Tafel.

Digitized by Google

I. Bild. Zottenkrebs. Rechts ein kleines Stämmchen des Epithelialbelegs beraubt. Links desgleichen mit Epithel bedeckt. — Sehr seltener Befund.

II. Bild. Dasselbe bei stärkerer Vergrösserung. Links der abgestreifte noch zusammenhängende Epithelialbeleg. Rechts eine stark vergrösserte Zotte; die Gefässe mit Blutkörperchen angefüllt. (Das Präparat im Besitze des Herrn Dr. Czerny.)

Digitized by Google

1.

2.

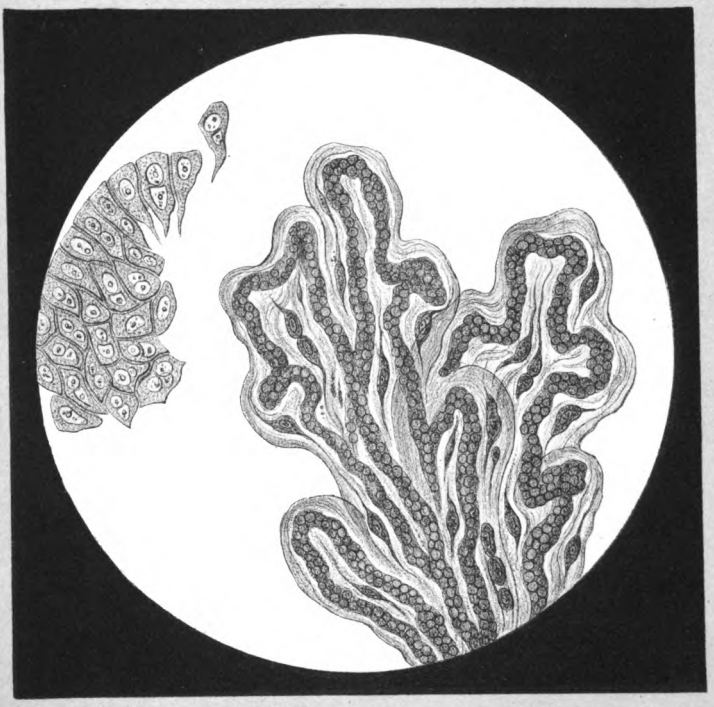

Lith. v. Dr. C. Heitzmann.

Lith. Anst. v. Appel & Comp. Wien.

Verlag v. W. Braumüller.

Digitized by Google

Digitized by Google

XLIII. Tafel.

Digitized by Google

I. Bild. Ein Stück einer Echinococcusblase mit den auf ihr sprossenden Thieren, deren Hälse eingezogen sind. Im Innern sieht man die kranzartig angeordneten Haken. Aus der Punktionsflüssigkeit einer in der Nierengegend befindlichen Abdominalcyste; kann auch im Harnsedimente vorkommen.

II. Bild. Zerstreute Haken ausgebildeter Echinokokken.

Digitized by Google

1.

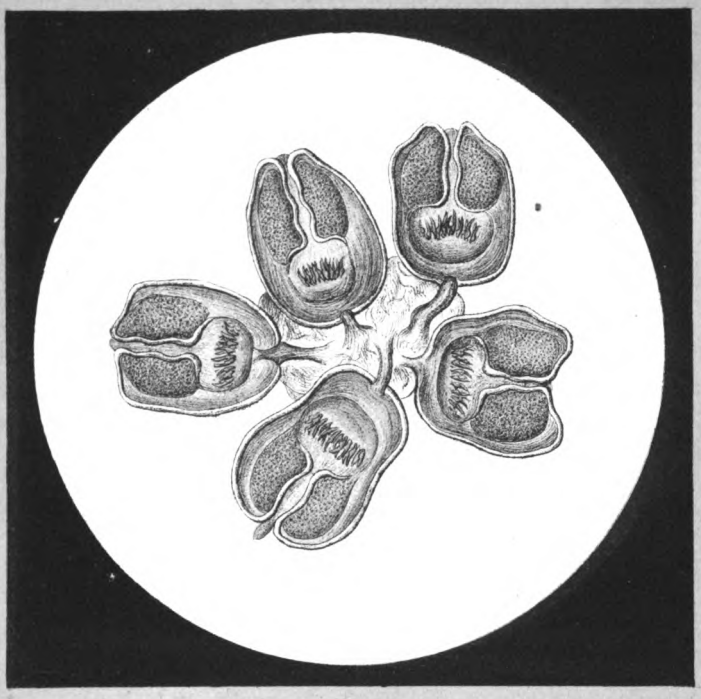

2.

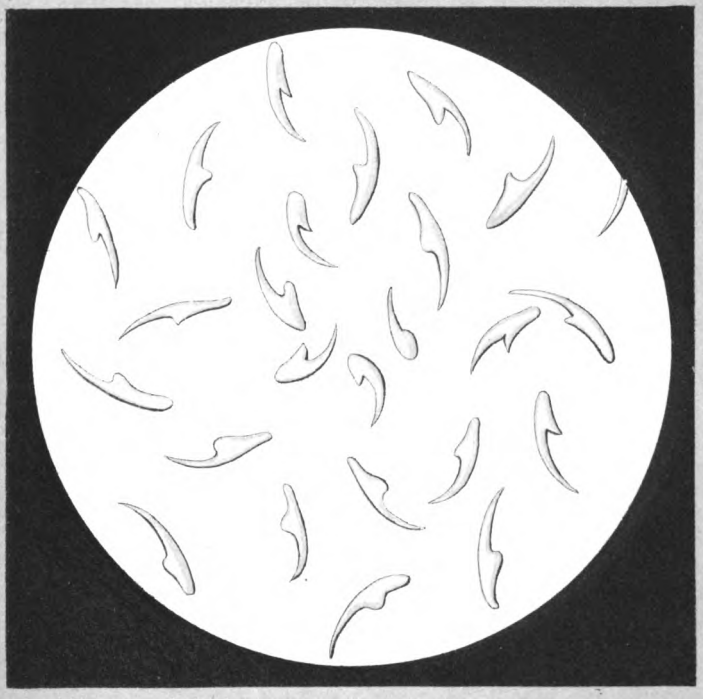

Lith. v. Dr. C. Heitzmann. Lith. Anst. v. Appel & Comp. Wien.

Verlag v. W. Braumüller.

Digitized by Google

Digitized by Google

XLIV. Tafel.

Digitized by Google

I. Bild. Verunreinigungen der Sedimente. Die langen, hobelspanartig gewundenen Fasern:

a) sind Baumwolle, — im obern rechten Viertel sieht man:

b) Luftblasen; darunter die charakteristische Form von einer

d) Federfahne; noch tiefer endlich

e) Seidenfäden und daneben links

c) Fetttropfen.

II. Bild. Fortsetzung der Verunreinigungen. In der linken Hälfte abgelöste

a) Flachsfasern; in der rechten

c) Schafwollfäden. Oben im Bilde

b) zwei Schuppen von einem Mottenflügel, getrennt durch eine Flachsfaser von einem

e) Stückchen eines eingetrockneten Pflanzenparenchyms, zu unterst

d) Amylum.

Digitized by Google

1.

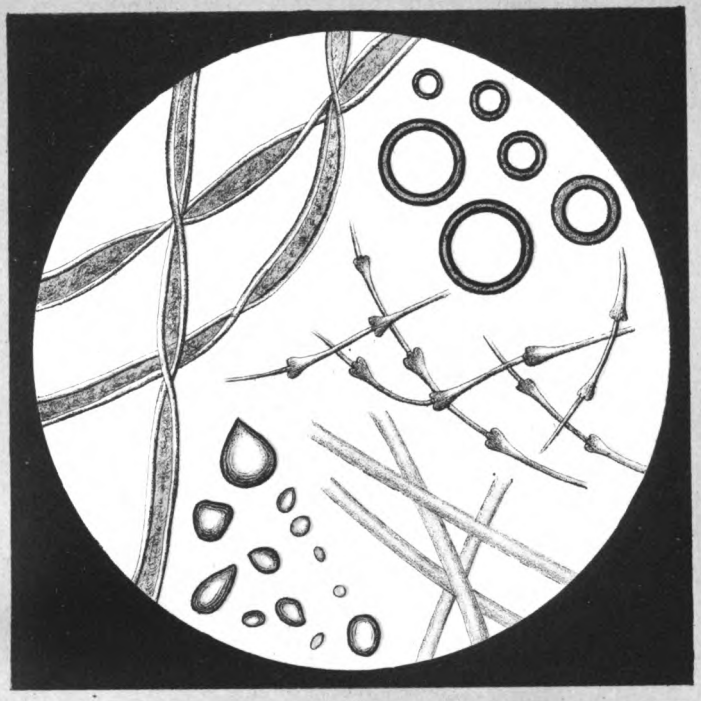

2.

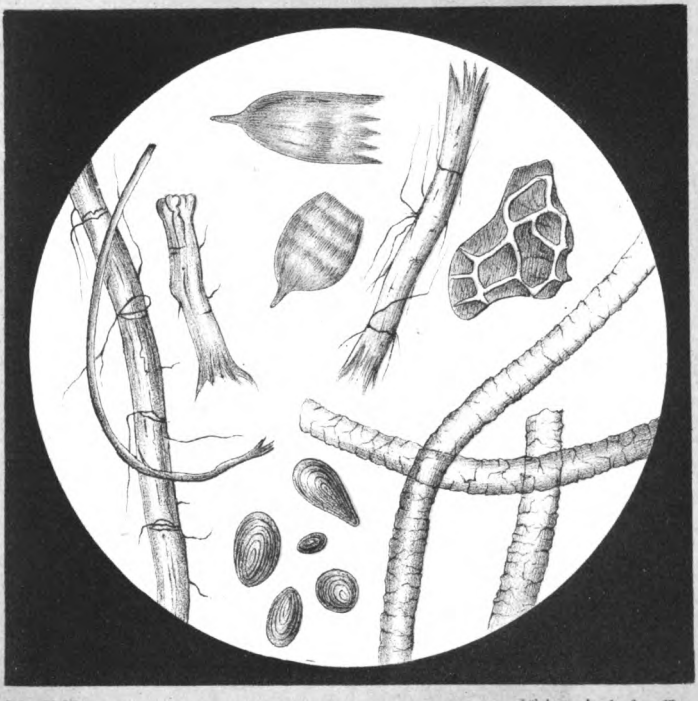

Lith. v. Dr C. Heitzmann. Lith. Anst. v. Appel & Comp. Wien.

Verlag v. W. Braumüller.

Digitized by Google

Digitized by Google

Digitized by Google

Digitized by Google

COUNTWAY LIBRARY
HC 1GB7 L

Medicinische Werke

aus dem Verlage

von Wilhelm Braumüller, k. k. Hof- und Universitätsbuchhändler in Wien.

Michaelis, Dr. Albert C. J., k. k. Regimentsarzt etc. **Compendium der Lehre von der Syphilis** und der damit zusammenhängenden ähnlichen Krankheiten und Folgezustände. Für praktische Aerzte und Studirende. Zweite umgearbeitete und durch zahlreiche Zusätze vermehrte Auflage. gr. 8. 1865. 3 fl. 50 kr. — 2 Thlr. 10 Ngr.

Moos, Dr. S., praktischer Arzt und Docent an der Universität in Heidelberg. **Klinik der Ohrenkrankheiten.** Ein Handbuch für Studirende und Aerzte. Mit 26 Holzschnitten. gr. 8. 1866. 3 fl. 50 kr. — 2 Thlr. 10 Ngr.

Neumann, Dr. Isidor, Docent an der k. k. Universität in Wien. **Lehrbuch der Hautkrankheiten.** Zweite vermehrte Auflage. Mit 66 Holzschnitten. gr. 8. 1870. 5 fl. — 3 Thlr. 10 Ngr.

Schroff, Dr. Carl D. Ritter von, k. k. Regierungsrath, Professor der allgemeinen Pathologie, Pharmacognosie und Pharmacologie an der Universität in Wien. **Lehrbuch der Pharmacognosie,** mit besonderer Berücksichtigung der österreichischen Pharmacopöe vom Jahre 1869. Zweite vermehrte Auflage. gr. 8. 1869. 7 fl. — 4 Thlr. 20 Ngr.

— — **Lehrbuch der Pharmacologie,** mit besonderer Berücksichtigung der österreichischen Pharmacopöe vom Jahre 1869. Dritte vermehrte Auflage. gr. 8. 1869. 7 fl. — 4 Thlr. 20 Ngr.

Stellwag von Carion, Dr. Carl, k. k. Professor an der Universität und an der Josefs-Akademie in Wien. **Lehrbuch der praktischen Augenheilkunde.** Vierte verbesserte und vermehrte Auflage. Mit 3 chromolithografirten Tafeln und 109 Holzschn. gr. 8. 1870. 9 fl. — 6 Thlr.

Stricker, Dr. S., Professor an der k. k. Universität in Wien. **Studien aus dem Institute für experimentelle Pathologie in Wien,** aus dem Jahre 1869. I. Mit 4 Holzschnitten und 2 Tafeln. gr. 8. 1870. 2 fl. — 1 Thlr. 10 Ngr.

Türck, Dr. Ludwig, weil. k. k. Professor und Primararzt am allgemeinen Krankenhause in Wien. **Praktische Anleitung zur Laryngoskopie.** Mit 32 Holzschnitten und 1 Steindrucktafel. gr. 8. 1860. 1 fl. 40 kr. — 28 Ngr.

— — **Klinik der Krankheiten des Kehlkopfes und der Luftröhre.** Nebst einer Anleitung zum Gebrauche des Kehlkopfrachenspiegels und zur Localbehandlung der Kehlkopfkrankheiten. Mit 260 Holzschnitten und 1 Steindrucktafel. gr. 8. 1866. 7 fl. — 4 Thlr. 20 Ngr.

— — **Atlas zur Klinik der Kehlkopfkrankheiten.** In 24 chromolithographirten Tafeln von Dr. A. Elfinger und Dr. C. Heitzmann. Mit erklärendem Texte. gr. 8. 1866. cart. 12 fl. — 8 Thlr.

C. Ueberreuter'sche Buchdruckerei (M. Salzer).

Digitized by Google

Digitized by Google